

**T.C.  
HARRAN ÜNİVERSİTESİ  
FEN BİLİMLERİ ENSTİTÜSÜ**

**YÜKSEK LİSANS TEZİ**

**KÜREMSİ DALGA DENKLEMİNİN SANKİ-SPEKTRAL YÖNTEMLERLE  
SAYISAL ÇÖZÜMLERİ**

**Hülya AYTAR**

**MATEMATİK ANABİLİM DALI**

**ŞANLIURFA  
2017**

Doç. Dr. Haydar ALICI danışmanlığında, Hülya AYTAR'ın hazırladığı “**Küremsi Dalga Denklemine Sanki-Spektral Yöntemlerle Sayısal Çözümleri**” konulu bu çalışma 29/12/2017 tarihinde aşağıdaki jüri tarafından oy birliği ile Harran Üniversitesi Fen Bilimleri Enstitüsü Matematik Anabilim Dalı'nda YÜKSEK LİSANS TEZİ olarak kabul edilmiştir.

İmza

Danışman : Doç. Dr. Haydar ALICI .....

Üye : Doç. Dr. Tanfer TANRIVERDİ .....

Üye : Yrd. Doç. Dr. Hüseyin ALTUNDAĞ .....

**Bu Tezin Matematik Anabilim Dalı'nda Yapıldığını ve Enstitümüz Kurallarına Göre Düzenlendiğini Onaylarım.**

**Prof. Dr. Halil Murat ALĞIN**  
Enstitü Müdürü

**Not:** Bu tezde kullanılan özgün ve başka kaynaktan yapılan bildirişlerin, çizelge, şekil ve fotoğrafların kaynak gösterilmeden kullanımı, 5846 sayılı Fikir ve Sanat Eserleri Kanunu'ndaki hükümlere tabidir.

# İÇİNDEKİLER

	Sayfa No
ÖZET . . . . .	i
ABSTRACT . . . . .	ii
TEŞEKKÜR . . . . .	iii
ÇİZELGELER DİZİNİ . . . . .	iv
1. GİRİŞ . . . . .	1
1.1. Ön Bilgiler . . . . .	1
1.2. Hipergeometrik Tip Denklem ve Bazı Özellikleri . . . . .	3
1.3. Jacobi Polinomları . . . . .	12
1.4. Chebyshev Polinomları . . . . .	14
2. ÖNCEKİ ÇALIŞMALAR . . . . .	16
3. MATERYAL ve YÖNTEM . . . . .	17
3.1. Türev Matrisleri . . . . .	17
3.2. Küçük Bant Genişliği Parametresi İçin Denklemin Sayısal Çözümleri . . . . .	19
3.3. Denklemin Jacobi Sanki-spektral Formülasyonu . . . . .	21
3.4. Büyük Bant Genişliği Parametresi İçin Denklemin Sayısal Çözümleri . . . . .	24
3.5. Dönüştürülmüş Chebyshev Sanki-spektral Yöntemi . . . . .	25
3.6. Yöntemin Denkleme Uygulanması . . . . .	28
4. ARAŞTIRMA BULGULARI ve TARTIŞMA . . . . .	29
5. SONUÇLAR ve ÖNERİLER . . . . .	36
KAYNAKLAR . . . . .	37
ÖZGEÇMİŞ . . . . .	39

# ÖZET

Yüksek Lisans Tezi

## KÜREMSİ DALGA DENKLEMİNİN SANKİ-SPEKTRAL YÖNTEMLERLE SAYISAL ÇÖZÜMLERİ

Hülya AYTAR

Harran Üniversitesi  
Fen Bilimleri Enstitüsü  
Matematik Anabilim Dalı

Danışman : Doç. Dr. Haydar ALICI  
Yıl: 2017, sayfa: 39

Bu tezde, küremsi dalga denkleminin bant genişliği parametresinin hem küçük hem de çok büyük değerleri için sanki-spektral yöntemlerle sayısal çözümleri elde edilmiştir. Bant genişliği parametresinin küçük değerleri için denklem Jacobi diferansiyel denklemini andıran bir forma dönüştürülüp uygun Jacobi sanki-spektral yöntemi kullanılarak sayısal çözümler hesaplanmıştır. Bu yöntem bant genişliği parametresinin çok büyük değerleri için kullanışsız bir hal almaktadır. Bu yüzden denklem cebirsel forma dönüştürülüp gönderimli Chebyshev sanki-spektral yöntemi kullanılarak yaklaşık çözümler elde edilmiştir. Yöntemin verimliliğini görmek için literatürde var olan sayısal sonuçlarla karşılaştırmalar yapılmıştır.

**ANAHTAR KELİMELEER:** Küremsi dalga denklemi, klasik dik polinomlar, sanki-spektral yöntemler.

## **ABSTRACT**

**MSc Thesis**

### **NUMERICAL SOLUTION OF THE SPHEROIDAL WAVE EQUATION BY USING PSEUDOSPECTRAL METHODS**

**Hülya AYTAR**

**Harran University  
Graduate School of Natural and Applied Sciences  
Department of Mathematics**

**Supervisor : Assoc. Prof. Dr. Haydar ALICI  
Year: 2017, page: 39**

In this thesis, numerical solution of the spheroidal wave equation is obtained by using pseudospectral methods for both small and very large values of the bandwidth parameter. For small values of the bandwidth parameter, spheroidal wave equation is transformed into a form resembling the Jacobi differential equation and hence, it is approximated by using suitable Jacobi pseudospectral method. However, the method becomes useless especially for very large values of the bandwidth parameter. For this reason, first it is transformed into an equivalent algebraic form and then approximated by using the mapped Chebyshev pseudospectral method. Comparison with literature results is made to see the efficiency of the present method.

**KEYWORDS:** Spheroidal wave equation, classical orthogonal polynomials, pseudospectral methods.

## TEŐEKKÜR

Çalıőmalarımız boyunca desteklerini esirgemeyen, engin bilgileriyle beni bilgilendiren çok kıymetli ve saygıdeđer hocam Doç. Dr. Haydar ALICI'ya teőekkür ederim.

Ayrıca, tez jürisinde bulunan ve tezin son halini almasında önemli katkıları bulunan Doç. Dr. Tanfer TANRIVERDİ ve Yrd. Doç. Dr. Hüseyin ALTUNDAĐ hocalarıma da teőekkürü borç bilirim.

Son olarak, bana her koşulda ve her durumda destek olan çok deđerli aile bireylerime de teőekkür ederim.



## ÇİZELGELER DİZİNİ

	Sayfa No
Çizelge 4.1. Matris boyutu $N$ artarken $\lambda_0(1,0)$ ve $\lambda_{1000}(1,0)$ özdeğerlerindeki doğruluk artışı. Baz fonksiyonları derecesi $N$ , mertebesi $(\alpha, \beta) = (-1/2, 0)$ olan Jacobi polinomlarıdır. . . . .	29
Çizelge 4.2. Küresel dalga denkleminin bazı yüksek çift indeksli özdeğerlerini verilen doğrulukta elde etmek için gerekli en küçük matris boyutu. . . . .	29
Çizelge 4.3. Zonal dalga sayısı $m$ değişirken $\lambda_{11}(10, m)$ özdeğerini verilen doğrulukta elde etmek için gerekli en küçük matris boyutları. Baz fonksiyonları derecesi $N$ , mertebesi $(\alpha, \beta) = (-1/2, m)$ olan Jacobi polinomlarıdır. . . . .	29
Çizelge 4.4. Bant genişliği $c$ değişirken $\lambda_{11}(c, m)$ özdeğerlerini verilen doğrulukta elde etmek için gerekli en küçük matris boyutları. Baz fonksiyonları derecesi $N$ , mertebesi $(\alpha, \beta) = (-1/2, 10)$ olan Jacobi polinomlarıdır. . . . .	30
Çizelge 4.5. $n = 0, 50, 100, 200$ için küresel dalga denkleminin $\lambda_{2n}(\sqrt{10}, 0)$ özdeğerlerinin doğruluk artışı. Baz fonksiyonları derecesi $N$ , mertebesi $(\alpha, \beta) = (-1/2, 0)$ olan Jacobi polinomlarıdır. . . . .	30
Çizelge 4.6. Çok büyük $c$ parametreleri için bazı çift indeksli özdeğerler. Baz fonksiyonları derecesi $N$ , mertebesi $(\alpha, \beta) = (-1/2, 0)$ olan Jacobi polinomlarıdır. . . . .	31
Çizelge 4.7. Çok büyük $c$ parametreleri için bazı çift indeksli özdeğerler. . . . .	31
Çizelge 4.8. $c = 10^4$ için ilk birkaç çift indeksli özdeğerler. . . . .	32
Çizelge 4.9. Çok büyük $c$ parametreleri için bazı çift indeksli özdeğerler. . . . .	32
Çizelge 4.10. Çok büyük $c$ parametreleri için bazı çift indeksli özdeğerler. . . . .	33
Çizelge 4.11. Çok büyük $c$ parametreleri için bazı çift indeksli özdeğerler. . . . .	33
Çizelge 4.12. Çok büyük $c$ parametreleri için bazı çift indeksli özdeğerler. . . . .	34
Çizelge 4.13. Çok büyük $c$ değerleri için bazı özdeğerler. . . . .	34

## 1. GİRİŞ

Fiziğin optik, atomik, moleküler ve nükleer gibi bir çok alanında karşımıza çıkan küresel dalga denklemi

$$\left[ -\frac{1}{\cos \theta} \frac{d}{d\theta} \left( \cos \theta \frac{d}{d\theta} \right) + \frac{m^2}{\cos^2 \theta} + c^2 \sin^2 \theta \right] y = \lambda y, \quad y(\pm\pi/2) = 0 \quad (1.1)$$

ifadesi ile verilir (Barakat ve Abodayeh, 2005). Burada  $\lambda$  özdeğer parametresi,  $m$  zonal dalga sayısı ve  $c$  bant genişliği parametresi olarak bilinir. Helmholtz denkleminin küresel koordinatlarda değişkenlerine ayırma yönteminin uygulanmasıyla elde edilen üç denklemden biri küresel dalga denklemidir ve bu denklemin çözümleri küresel dalga fonksiyonları olarak bilinir. Bu fonksiyonların keyfi bir  $c$  ve  $m$  değeri için yüksek doğrulukta yaklaşık temsilleri, Helmholtz denkleminin özellikle dalga sayısının büyük değerleri için yaklaşık çözümlerini elde etmede gereklidir.

Ayrıca, bu fonksiyonların bazı adi ve kısmi differansiyel denklemlerin çözümlerinde, özellikle bandlimited fonksiyonları içeren problemlerde, baz olarak kullanıldığında, aynı doğruluğu elde etmek için klasik ortogonal polinom bazlarına nazaran dalga boyu başına daha az sayıda grid noktasına ihtiyaç duyduğu rapor edilmiştir (Xiao ve ark. , 2001). Dolayısıyla küresel dalga denkleminin yaklaşık çözümlerini özellikle büyük  $c$  değerleri için elde etmek önem arz etmektedir.

Bu çalışmada Jacobi sanki-spektral yöntemini kullanarak küçük, dönüştürülmüş Chebyshev sanki-spektral yöntemini kullanarak da büyük  $c$  değerleri için iyi sonuç veren iki algoritma verilmesi hedeflenmektedir.

Bunun için önce denklemi nümerik açıdan daha kolay ele alınabilir bir forma dönüştüreceğiz. Uygun dönüşümler kullanıldığında denklemde ne sınır değer koşulu ne de tekillik kalacaktır. Ayrıca dönüştürülmüş denklemden, hangi Jacobi polinomlarının en uygun baz kümesi teşkil edeceğini de anlayabileceğiz.

### 1.1. Ön Bilgiler

**Tanım 1.1** Euler Gamma fonksiyonu

$$\Gamma(x) = \int_0^{\infty} t^{x-1} e^{-t} dt, \quad x > 0 \quad (1.2)$$



genelleştirilmiş integrali ile tanımlanır.

Hemen tanıma kısmi integrasyon yöntemi uygulanırsa

$$\begin{aligned}\Gamma(x+1) &= \int_0^{\infty} t^x e^{-t} dt \\ &= \lim_{b \rightarrow \infty} \int_0^b t^x e^{-t} dt \\ &= \lim_{b \rightarrow \infty} \underbrace{(-t^x e^{-t}) \Big|_0^b}_0 + x \int_0^{\infty} t^{x-1} e^{-t} dt\end{aligned}\quad (1.3)$$

$$\Gamma(x+1) = x\Gamma(x)$$

olduğu görülür ve

$$\Gamma(x) = \frac{\Gamma(x+1)}{x}\quad (1.4)$$

ifadesini kullanarak gama fonksiyonunun tanım kümesi negatif tamsayılar ve sıfır hariç tüm reel sayılara analitik devam yöntemi ile genişletilebilir. Yine Gamma fonksiyonunun tanımından  $a > 0$  ve  $x > 0$  olmak üzere

$$a^{-x} = \frac{1}{\Gamma(x)} \int_0^{\infty} e^{-at} t^{x-1} dt\quad (1.5)$$

olduğu kolayca görülür.

**Tanım 1.2**  $a$  reel veya kompleks bir sayı,  $n$  sıfır ya da pozitif bir tamsayı olmak üzere

$$(a)_n = a(a+1)(a+2)\dots(a+n-1), \quad n \geq 1\quad (1.6)$$

$$(a)_0 = 1$$

ifadesi Pochhammer sembolü olarak bilinir.

**Lemma 1.3** Pochhammer sembolü, Gama fonksiyonu cinsinden

$$(a)_n = \frac{\Gamma(a+n)}{\Gamma(a)}\quad (1.7)$$

şeklinde ifade edilebilir.

**İspat.** (1.4) eşitliğinden faydalanılarak  $\Gamma(a+n)$  ifadesi

$$\begin{aligned}\Gamma(a+n) &= (a+n-1)\Gamma(a+n-1) \\ &= (a+n-1)(a+n-2)\Gamma(a+n-2) \\ &\vdots \\ &= (a+n-1)(a+n-2)\dots(a+1)a\Gamma(a) \\ &= (a)_n\Gamma(a)\end{aligned}\quad (1.8)$$

şeklinde yazılabilir. eşitliğin her iki tarafı  $\Gamma(a)$  ile bölünürse (1.7) eşitliği elde edilir.  $\square$

## 1.2. Hipergeometrik Tip Denklem ve Bazı Özellikleri

Klasik ortogonal polinomlar hipergeometrik tip diferansiyel denklemin polinom çözümleri olduğundan burada ilk olarak hipergeometrik tip diferansiyel denklemin bazı temel özelliklerini vereceğiz. Hipergeometrik tip diferansiyel denklemler teorik ve pratik araştırmalarda, özellikle uygulamalı matematiğin denklemlerinin belirli koordinat sistemlerinde değişkenlere ayrılması metodu ile çözümlenmesinden ortaya çıkar. Katsayı fonksiyonları  $\sigma(x)$  ve  $\tau(x)$  sırasıyla, en fazla ikinci ve birinci dereceden polinomlar ve  $\lambda$  sabit olmak üzere

$$\sigma(x)y'' + \tau(x)y' + \lambda y = 0 \quad (1.9)$$

diferansiyel denklemine hipergeometrik diferansiyel denklem olarak bilinir. Bu denklemin çözümlerine de Hipergeometrik tip fonksiyonlar denir. Bu denklem,

$$[\sigma(x)\rho(x)]' = \tau(x)\rho(x) \quad (1.10)$$

denkleminin çözümü olan  $\rho(x)$  ağırlık fonksiyonu yardımıyla

$$[\sigma(x)\rho(x)y']' + \lambda\rho(x)y = 0 \quad (1.11)$$

özeşlenik formda da yazılabilir.

**Teorem 1.4** *Hipergeometrik tipteki bir fonksiyonun her mertebeden türevleri de hipergeometrik tiptendir.*

**İspat.** (1.9) denkleminin  $x$  değişkenine göre bir kez türevi alınırsa

$$\sigma(x)y''' + [\sigma'(x) + \tau(x)]y'' + (\tau' + \lambda)y' = 0 \quad (1.12)$$

denklemden  $v_1 = y'$  alınır

$$\sigma(x)v_1'' + \tau_1(x)v_1' + \mu_1 v_1 = 0 \quad (1.13)$$

elde edilir. Burada  $\tau_1(x) = \sigma'(x) + \tau(x)$  birinci dereceden polinom ve  $\mu_1 = \tau' + \lambda$  sabittir. Tümevarım yönteminden faydalanılarak  $v_n = y^{(n)}$  isimlendirmesi yapılır

$$\sigma(x)v_n'' + \tau_n(x)v_n' + \mu_n v_n = 0 \quad , v_0 = y \quad (1.14)$$

bulunur. Burada

$$\tau_n(x) = \sigma'(x) + \tau_{n-1}(x) = n\sigma'(x) + \tau(x) \quad , \quad \tau_0(x) = \tau(x) \quad (1.15)$$

ve

$$\mu_n = \mu_{n-1} + \tau'n - 1 = \lambda + n\tau' + \frac{1}{2}n(n-1)\sigma'' \quad , \quad \mu_0 = \lambda \quad (1.16)$$

ile verilir. Dikkat edilirse  $\tau_n$  en fazla birinci derece bir polinomdur ve  $\mu_n$  terimi sabittir. Yani (1.14) denklemi de hipergeometrik tip bir denklemdir. Bunun çözümleri olan  $v_n$  dolayısı ile  $y^{(n)}$ ,  $n = 0, 1, 2, \dots$  fonksiyonları da hipergeometrik tiptendir.  $\square$

**Teorem 1.5** (Nikiforov ve Uvarov, 1988) (1.9) denkleminin  $\mu_n = 0$ , yani

$$\lambda := \lambda_n = -n\tau' - \frac{1}{2}n(n-1)\sigma'' \quad (1.17)$$

özel değeri için derecesi  $n$  olan  $P_n(x)$  polinom çözümleri vardır.

**İspat.**  $\mu_n = 0$  için (1.14) denkleminin  $v_n = C$  gibi bir sabit çözümü olduğu açıktır.  $v_n(x) = y^{(n)}(x) = C$  olduğundan (1.4) denkleminin çözümü olan  $y(x)$  fonksiyonu derecesi  $n$  olan bir polinom olmak zorundadır. Öte yandan,  $\mu_n = 0$  olduğundan, (1.16) eşitliğinden (1.17) ifadesi kolayca elde edilir.  $\square$

**Teorem 1.6** Bu polinom çözümler Rodriguez formülü olarak bilinen

$$P_n(x) = B_n \frac{1}{\rho(x)} \frac{d^n}{dx^n} [\sigma^n(x)\rho(x)] \quad (1.18)$$

ifadesi ile verilir.

**İspat.** Rodriguez Formülü (1.9) ve (1.14) denklemlerinin özeşlenik formlarından faydalanılarak

$$[\sigma(x)\rho(x)]' = \tau(x)\rho(x) \quad (1.19)$$

$$[\sigma(x)\rho_n(x)]' = \tau_n(x)\rho_n(x) \quad (1.20)$$

olmak üzere

$$[\sigma(x)\rho(x)y'(x)]' + \lambda\rho(x)y(x) = 0 \quad (1.21)$$

$$[\sigma(x)\rho_n(x)v_n'(x)]' + \mu_n\rho_n(x)v_n(x) = 0 \quad (1.22)$$

denklemleri dikkate alınarak (1.19) den

$$\rho(x) = \exp\left(\int \frac{\tau(x) - \sigma'(x)}{\sigma(x)} dx\right) \quad (1.23)$$

elde edilir. Aslında  $\rho_n(x)$  ve  $\rho(x) = \rho_0(x)$  arasında bağlantı vardır. Burada (1.20)

$$\frac{[\sigma(x)\rho_n(x)]'}{\rho_n(x)} = \tau_n(x) = n\sigma'(x) + \tau(x) \quad (1.24)$$

elde edilen ifade (1.19) eşitliğinden faydalanılarak

$$\frac{[\sigma(x)\rho_n(x)]'}{\rho_n(x)} = n\sigma'(x) + \frac{\sigma(x)\rho(x)'}{\rho(x)} \quad (1.25)$$

şeklinde yazılabilir. Son eşitlikten

$$\frac{\rho_n'(x)}{\rho_n(x)} = n\frac{\sigma'(x)}{\sigma(x)} + \frac{\rho'(x)}{\rho(x)} \quad (1.26)$$

şeklinde yazıldığında  $\rho_n(x) = \sigma^n(x)\rho(x)$  eşitliği bulunur. Bu eşitlikten ise

$$\sigma(x)\rho_n(x) = \sigma^{n+1}(x)\rho(x) = \rho_{n+1}(x) \quad (1.27)$$

elde edilir. Ayrıca  $v_n'(x) = v_{n+1}(x)$  olduğundan (1.20) denklemi

$$[\rho_{n+1}(x)\sigma_{n+1}(x)]' + \mu_n(x)\rho_n(x)v_n(x) = 0 \quad (1.28)$$

halini alır. Buradan

$$\rho_n(x)v_n(x) = -\frac{1}{\mu_n}[\rho_{n+1}(x)v_{n+1}(x)]' \quad (1.29)$$

olur. Burada  $m < n$  için

$$\begin{aligned} \rho_n(x)v_n(x) &= -\frac{1}{\mu_m}[\rho_{m+1}(x)v_{m+1}(x)]' \\ &= \left(-\frac{1}{\mu_m}\right)\left(-\frac{1}{\mu_{m+1}}\right)[\rho_{m+2}(x)v_{m+2}(x)]'' \\ &= (-1)^2\frac{1}{\mu_m\mu_{m+1}}[\rho_{m+2}(x)v_{m+2}(x)]'' \\ &= (-1)^n\frac{1}{\mu_m\mu_{m+1}\dots\mu_{m+n-1}}[\rho_{m+n}(x)v_{m+n}(x)]^{(n)} \end{aligned} \quad (1.30)$$

bulunur. Son eşitlikte  $n$  yerine  $n - m$  yazılırsa

$$\rho_m(x)v_m(x) = (-1)^{n-m}\frac{1}{\mu_m\mu_{m+1}\dots\mu_{m+n-1}}[\rho_n(x)v_n(x)]^{(n-m)} \quad (1.31)$$

$$= \frac{(-1)^n\mu_0\mu_1\dots\mu_{m-1}}{(-1)^m\mu_0\mu_1\dots\mu_{m-1}\mu_m\dots\mu_{n-1}}[\rho_n(x)v_n(x)]^{(n-m)}$$

elde edilir. Bu ise

$$\rho_mv_m = \frac{A_m}{A_n}\frac{d^{n-m}}{dx^{n-m}}(\rho_nv_n) \quad (1.32)$$

eşitliğini verir. Burada

$$A_j(\lambda) = (-1)^j \prod_{k=0}^{j-1} \mu_k(\lambda), \quad A_{0m} = 1 \quad (1.33)$$

şeklindedir. (1.33) ifadesinde  $\lambda = \lambda_n$  seçilirse

$$A_{mn} := A_m(\lambda_n) = \frac{n!}{(n-m)!} \prod_{k=0}^{m-1} \left[ \tau' + \frac{1}{2}(n+k-1)\sigma'' \right], \quad A_{0n} = 1 \quad (1.34)$$

ifadesi elde edilir.  $v_n(x) = C_0$  olduğundan (1.32) eşitliği

$$v_m(x) = P_n^{(m)}(x) = B_n \frac{A_{mn}}{\rho_m} \frac{d^{m-n}}{dx^{n-m}} \rho_n(x) \quad (1.35)$$

halini alır. Burada

$$B_n = \frac{C_0}{A_n(\lambda_n)} = \frac{P_n^{(n)}}{A_{nn}} \quad (1.36)$$

sabittir. Özel olarak, (1.35) eşitliğinde  $m = 0$  seçilirse hipergeometrik tip polinomların bir açık gösterimi olan

$$P_n(x) = B_n \frac{1}{\rho(x)} \frac{d^n}{dx^n} [\sigma^n(x) \rho(x)] \quad (1.37)$$

Rodriguez formülü elde edilir. Burada  $B_n$  normalizasyon sabiti olarak düşünülebilir.  $\square$

**Teorem 1.7** (1.9) denkleminin katsayıları  $k = 0, 1, 2, \dots$  için

$$\sigma(x) \rho(x) x^k \Big|_a^b = 0 \quad (1.38)$$

eşitliğini sağlasın. O zaman,  $\{\lambda_1, \lambda_2, \lambda_m, \dots, \lambda_n, \dots\}$  değerlerine karşılık gelen  $\{P_0(x), P_1(x), P_2(x), \dots, P_m(x), \dots, P_n(x), \dots\}$  hipergeometrik tipteki polinomların dizisi  $(a, b)$  aralığında

$$\int_a^b P_m(x) P_n(x) \rho(x) dx = \mathcal{N}_n^2 \delta_{mn} \quad (1.39)$$

iç çarpımı anlamında ortogondur. Burada  $\mathcal{N}_n$  normalizasyon sabitidir.

Öte yandan (1.22) ve (1.27) eşitliklerinden ve  $v_k = P_n^{(k)}$  ifadesinden faydalanılarak  $\mu_{kn} = \mu_k(\lambda_n)$  olmak üzere

$$\left[ \sigma(x) \rho_k(x) P_n^{(k+1)}(x) \right]' + \mu_{kn} \rho_k(x) P_n^{(k)}(x) = 0, \quad k = 0, 1, \dots, n \quad (1.40)$$

yazılabilir. Ayrıca (1.38) sağlandığında

$$\sigma(x) \rho_k(x) x^k \Big|_a^b = 0 \quad (1.41)$$

şartı otomatik olarak sağlanacağından  $\{P_0^{(k)}(x), P_1^{(k)}(x), P_2^{(k)}(x), \dots, P_m^{(k)}(x), \dots, P_n^{(k)}(x), \dots\}$  dizisi  $(a, b)$  aralığında  $\rho_k(x)$  ağırlık fonksiyonu altında

$$\int_a^b P_m^{(k)}(x) P_n^{(k)}(x) \rho_k(x) dx = \mathcal{N}_{kn}^2 \delta_{mn}, \quad k = 0, 1, \dots \quad (1.42)$$

anlamında ortogondur. Dikkat edilirse,  $\mathcal{N}_n = \mathcal{N}_{0n}$ ,  $\rho_0(x) = \rho(x)$  ve  $P_m^{(0)}(x) = P_m(x)$  olmak üzere son ifade  $k = 0$  özel durumunda (1.39) ifadesi elde edilir.

**Teorem 1.8** *Hipergeometrik tip denklemin çözümü olan*

$$P_n(x) = a_n x^n + b_n x^{n-1} + \dots \quad (1.43)$$

*polinomunun başkatsayısı*

$$a_n = \frac{1}{n!} A_{n-1, n} B_n [(n-1)\sigma'' + \tau'] \quad (1.44)$$

*ve alt başkatsayısı*

$$\frac{b_n}{a_n} = n \frac{(n-1)\sigma'(0) + \tau(0)}{(n-1)\sigma'' + \tau'} \quad (1.45)$$

*eşitlikleriyle verilir.*

**İspat.** (1.43) eşitliğinin  $x$  değişkenine göre  $k$  defa türevi alınırsa

$$P_n^{(k)}(x) = \frac{n!}{(n-k)!} a_n x^{n-k} + \frac{(n-1)!}{(n-k-1)!} b_n x^{n-k-1} + \dots \quad (1.46)$$

elde edilir. Burada  $k = n - 1$  alınırsa

$$P_n^{(n-1)}(x) = n! a_n x + (n-1)! b_n \quad (1.47)$$

bulunur. Öte yandan (1.35) eşitliği  $k = n - 1$  için

$$P_n^{(n-1)}(x) = \frac{A_{n-1, n} B_n}{\sigma^{(n-1)}(x) \rho(x)} \frac{d}{dx} [\sigma^n(x) \rho(x)] \quad (1.48)$$

halini alır ve bu eşitliğin yeniden düzenlenmesiyle

$$P_n^{(n-1)}(x) = A_{n-1, n} B_n [(n-1)\sigma'(x) + \tau(x)] \quad (1.49)$$

eşitliği elde edilir. Son eşitlikte  $\sigma(x)$  ve  $\tau(x)$  polinomlarının sıfır etrafındaki Taylor seri açılımları

$$\sigma(x) = \sigma(0) + \sigma'(0)x + \frac{1}{2}\sigma''x^2 \quad (1.50)$$

$$\tau(x) = \tau(0) + \tau'x \quad (1.51)$$

kullanılırsa (1.49) ifadesi

$$P_n^{(n-1)}(x) = A_{n-1,n} B_n \{ [(n-1)\sigma'' + \tau']x + (n-1)\sigma'(0) + \tau(0) \} \quad (1.52)$$

halini alır. Son olarak (1.47) ve (1.52) ifadelerinin birbirlerine eşitlenmesiyle (1.44) ve (1.45) kolayca elde edilir.  $\square$

**Teorem 1.9** (1.39) eşitliğindeki normalizasyon sabiti

$$\mathcal{N}_n^2 = \frac{(-1)^n}{A_{nn}} (n! a_n^2) \int_a^b \rho_n(x) dx \quad (1.53)$$

ifadesiyle verilir.

**İspat.** (1.22) ve (1.27) eşitliklerinden faydalanılarak  $\mu_{kn} = \mu_k(\lambda_n)$  olmak üzere

$$\frac{d}{dx} [\rho_{k+1}(x) P_n^{(k+1)}(x)] + \mu_{kn} \rho_k(x) P_n^{(k)}(x) = 0 \quad (1.54)$$

yazılabilir. Son ifade  $P_n^{(k)}(x)$  ile çarpılıp  $(a, b)$  aralığında integrali alınır

$$\int_a^b P_n^{(k)} [\rho_{k+1} P_n^{(k+1)}]' dx + \mu_{kn} \int_a^b \rho_k [P_n^{(k)}]^2 dx = 0 \quad (1.55)$$

olur. Burada ilk integrale kısmi integrasyon tekniği uygulandığında

$$\rho_{k+1} P_n^{(k+1)} P_n^{(k)} \Big|_a^b - \int_a^b \rho_{k+1} [P_n^{(k+1)}]^2 dx + \mu_{kn} \int_a^b \rho_k [P_n^{(k)}]^2 dx = 0 \quad (1.56)$$

bulunur. Burada en soldaki terim (1.38) eşitliğinden dolayı sıfırlanır. Bu yüzden sonuç olarak

$$\mathcal{N}_{k+1,n}^2 = \mu_{kn} \mathcal{N}_{kn}^2, \quad k = 0, 1, \dots \quad (1.57)$$

bağıntısı elde edilir. O halde

$$\begin{aligned} \mathcal{N}_{1,n}^2 &= \mu_{0n} \mathcal{N}_{0n}^2 = \mu_{0n} \mathcal{N}_n^2 \\ \mathcal{N}_{2,n}^2 &= \mu_{1n} \mathcal{N}_{1n}^2 = \mu_{0n} \mu_{1n} \mathcal{N}_n^2 \\ &\vdots \\ \mathcal{N}_{k,n}^2 &= \mathcal{N}_n^2 \prod_{j=0}^{k-1} \mu_{jn} = (-1)^k A_{kn} \mathcal{N}_n^2 \end{aligned} \quad (1.58)$$

yazılabilir. Burada son eşitlik (1.34) ifadesinden faydalanılarak yazılmıştır. (1.47) eşitliğinden  $P_n^{(n)}(x) = n! a_n$  olduğundan  $m = k = n$  için (1.42) eşitliği

$$\mathcal{N}_{nn}^2 = (n! a_n)^2 \int_a^b \rho_n(x) dx \quad (1.59)$$

halini alır. Ayrıca (1.58) ifadesinden

$$\mathcal{N}_n^2 = \frac{(-1)^n}{A_{nm}} \mathcal{N}_{nm}^2 = \frac{(-1)^n}{A_{nm}} (n!a_n)^2 \int_a^b \rho_n(x) dx \quad (1.60)$$

bulunur. □

**Teorem 1.10** (1.39) eşitliğindeki ortogonallik koşulu  $m < n$  için

$$\int_a^b x^m P_n(x) \rho(x) dx = 0 \quad (1.61)$$

ifadesine denktir. Bu ise  $P_n(x)$  polinomunun derecesi  $n$ 'den küçük bütün polinomlara dik olduğu anlamına gelir.

**İspat.** Derecesi  $m$  olan keyfi bir  $q_m(x)$  polinomu  $P_0(x), P_1(x), P_2(x), \dots, P_m(x)$  ortogonal polinomlarının lineer kombinasyonu

$$q_m(x) = \sum_{k=0}^m c_{km} P_k(x) \quad (1.62)$$

şeklinde yazılabilir. (1.39)'deki ortogonallik koşulunu kullanarak (1.62) denkleminin her iki tarafının  $P_j(x)\rho(x)$  ile çarpılıp  $(a, b)$  aralığında integralinin alınmasıyla

$$\int_a^b q_m(x) P_j(x) \rho(x) dx = \sum_{k=0}^m c_{km} \int_a^b P_k(x) P_j(x) \rho(x) dx \quad (1.63)$$

bulunur. (1.39) ortogonallik koşulu kullanılırsa kombinasyon sabitleri

$$c_{km} = \frac{1}{\mathcal{N}_k^2} \int_a^b q_m(x) P_k(x) \rho(x) dx, \quad k = 0, 1, \dots, m \quad (1.64)$$

bulunur. Şimdi  $m < n$  olmak üzere  $q_m(x) = x^m$  seçilirse

$$x^m = \sum_{k=0}^m c_{km} P_k(x) \quad (1.65)$$

yazılır ve eşitliğin her iki tarafı  $P_n(x)\rho(x)$  ile çarpılıp  $(a, b)$  aralığında integrali alınırsa

$$\int_a^b x^m P_n(x) \rho(x) dx = \sum_{k=0}^m c_{km} \int_a^b P_k(x) P_n(x) \rho(x) dx \quad (1.66)$$

elde edilir.  $m < n$  ve  $k$  indisinin üst sınırı  $m$  olduğundan

$$\int_a^b x^m P_n(x) \rho(x) dx = 0 \quad (1.67)$$

bulunur ki bu da  $P_n(x)$  polinomunun derecesi  $n$ 'den küçük her polinoma dik olduğunu söyler. □



**Teorem 1.11** *Ortogonal polinomlar*

$$xP_n(x) = \alpha_n P_{n+1}(x) + \beta_n P_n(x) + \gamma_n P_{n-1}(x), \quad n = 1, 2, \dots \quad (1.68)$$

tipinde bir üç terimli yineleme bağıntısını sağlarlar. Burada katsayılar

$$\alpha_n = \frac{a_n}{a_{n+1}}, \quad \beta_n = \frac{b_n}{a_n} - \frac{b_{n+1}}{a_{n+1}}, \quad \gamma_n = \frac{\mathcal{N}_n^2}{\mathcal{N}_{n-1}^2} \frac{a_{n-1}}{a_n}$$

eşitlikleriyle verilir. Ayrıca,  $a_n$ ,  $b_n$  ve  $\mathcal{N}_n$  sırasıyla, (1.44), (1.45) ve (1.53) ifadelerinde verilmiştir.

**İspat.**

$$xP_n(x) = \sum_{k=0}^{n+1} c_{kn} P_k(x) \quad (1.69)$$

açılımını kullanarak (1.64) eşitliğinden

$$c_{kn} = \frac{1}{\mathcal{N}_n^2} \int_a^b P_k(x) x P_n(x) \rho(x) dx \quad (1.70)$$

yazılabilir. Fakat  $xP_k(x)$  derecesi  $k+1$  olan bir polinom olduğundan  $k+1 < n$  yani  $k < n-1$ ,  $c_{kn} = 0$  olmak zorundadır. Dolayısıyla (1.69) açılımından

$$xP_n(x) = c_{n-1,n} P_{n-1}(x) + c_{n,n} P_n(x) + c_{n+1,n} P_{n+1}(x) \quad (1.71)$$

yazılır. Elde edilen eşitlik (1.68) ile karşılaştırılırsa

$$c_{n-1,n} = \gamma_n, \quad c_{n,n} = \beta_n, \quad c_{n+1,n} = \alpha_n \quad (1.72)$$

olduğu açıktır. (1.70) eşitliğinde  $k$  ve  $n$  indisleri kendi aralarında yer değiştirirse integral aynı kalır. Bu söylemden

$$\mathcal{N}_k^2 c_{k,n} = \mathcal{N}_n^2 c_{n,k} \quad (1.73)$$

yazılır.  $k = n-1$  alınırsa

$$\gamma_n = \frac{\mathcal{N}_n^2}{\mathcal{N}_{n-1}^2} \alpha_{n-1} \quad (1.74)$$

bulunur. Öte yandan,  $P_n(x) = a_n x^n + b_n x^{n-1} + \dots$  olduğundan (1.68) eşitliği  $a_n x^{n+1} + b_n x^n + \dots = \alpha_n a_{n+1} x^{n+1} + (\alpha_n b_{n+1} + \beta_n a_n) x^n$  eşitliğini verir ki buradan

$$\alpha_n = \frac{a_n}{a_{n+1}}, \quad (1.75)$$

$$\beta_n = \frac{b_n}{a_n} - \frac{b_{n+1}}{a_{n+1}} \quad (1.76)$$

bulunur. O halde (1.75) ifadesi (1.74) eşitliğinde yerine yazılırsa

$$\gamma_n = \frac{a_{n-1}}{a_n} \frac{\mathcal{N}_n^2}{\mathcal{N}_{n-1}^2} \quad (1.77)$$

bulunur. □

**Teorem 1.12**  $P_n(x)$  polinomunun ortogonal olduğu  $(a, b)$  aralığında reel ve birbirinden farklı (basit)  $n$  tane kökü vardır.

**İspat.**  $P_n(x)$ ,  $(a, b)$  aralığında  $k$  defa işaret değiştirsin,  $0 \leq k \leq n$  olduğu açıktır. İspatı tamamlamak için  $k = n$  olduğunu göstermelidir.  $x_j \in (a, b)$  noktaları  $P_n(x)$  polinomunun işaret değiştirdiği noktalar olsun. Şimdi

$$q_k(x) = \begin{cases} 1, & k = 0 \\ \prod_{j=1}^k (x - x_j), & 0 < k \leq n \end{cases} \quad (1.78)$$

polinomunu tanımlayalım. Dikkat edilirse  $q_n(x)P_n(x)$  çarpımı  $(a, b)$  aralığında daima pozitifdir. O halde

$$\int_a^b q_k(x)P_n(x)\rho(x)dx \neq 0 \quad (1.79)$$

olur. Bu ise ancak  $k = n$  durumunda sağlanır. Çünkü  $P_n(x)$  derecesi  $n$ 'den küçük tüm polinomlara diktir (bakınız teorem 1.10).  $\square$

**Teorem 1.13** (Darboux-Christofel formülü) Her bir ortogonal polinom için

$$\mathcal{A}_k(x, y) = \frac{\alpha_k}{\mathcal{N}_k^2} \begin{vmatrix} P_{n+1}(x) & P_{n+1}(y) \\ P_n(x) & P_n(y) \end{vmatrix} \quad (1.80)$$

olmak üzere

$$\sum_{k=0}^n \frac{1}{\mathcal{N}_k^2} P_k(x)P_k(y) = \frac{\mathcal{A}_n(x, y)}{x - y} \quad (1.81)$$

şeklinde bir sonlu toplam formülü vardır.

**İspat.** (1.68) yineleme bağıntısından

$$\frac{1}{\mathcal{N}_k^2} x P_k(x) = \frac{\alpha_k}{\mathcal{N}_k^2} P_{k+1}(x) + \frac{\beta_k}{\mathcal{N}_k^2} P_k(x) + \frac{\alpha_{k-1}}{\mathcal{N}_k^2} P_{k-1}(x) \quad (1.82)$$

$$\frac{1}{\mathcal{N}_k^2} y P_k(y) = \frac{\alpha_k}{\mathcal{N}_k^2} P_{k+1}(y) + \frac{\beta_k}{\mathcal{N}_k^2} P_k(y) + \frac{\alpha_{k-1}}{\mathcal{N}_k^2} P_{k-1}(y) \quad (1.83)$$

yazılabilir. İlk denklemi  $P_k(y)$ , ikinci denklemi  $P_k(x)$  ile çarpıp birbirinden çıkarırsak

$$\frac{x-y}{\mathcal{N}_k^2} P_k(x)P_k(y) = -\mathcal{A}_k(x, y) + \mathcal{A}_{k-1}(x, y) \quad (1.84)$$

elde edilir.  $k = 0, 1, \dots, n$  için toplam alınırsa

$$\begin{aligned} \sum_{k=0}^n \frac{1}{\mathcal{N}_k^2} P_k(x)P_k(y) &= \frac{1}{x-y} \sum_{k=0}^n \mathcal{A}_{k-1}(x, y) - \mathcal{A}_k(x, y) \\ &= \frac{\mathcal{A}_n(x, y) - \mathcal{A}_{-1}(x, y)}{x-y} \end{aligned} \quad (1.85)$$

bulunur. Dikkat edilirse  $\alpha_{-1}/\mathcal{N}_{-1}^2 = 0$  ve  $P_{-1}(x)P_{-1}(y) = 0$  olduğundan  $\mathcal{A}_{-1}(x,y) = 0$  olduğu açıktır. Bu da ispatı bitirir.  $\square$

**Teorem 1.14**  $P_{n+1}(x)$  polinomunun ardışık iki kökü arasında  $P_n(x)$  polinomunun bir kökü bulunur.

**İspat.** (1.80) eşitliğinde  $y \rightarrow x$ , limit durumunda L-Hospital kuralını kullanarak

$$\begin{aligned} \lim_{y \rightarrow x} \frac{\partial}{\partial y} \mathcal{A}_n(x,y) &= \frac{\partial}{\partial y} \mathcal{A}_n(x,x) \\ &= -\frac{1}{\mathcal{N}_n^2} \frac{a_n}{a_{n+1}} [P_{n+1}(x)P'_n(x) - P_n(x)P'_{n+1}(x)] \end{aligned} \quad (1.86)$$

elde edilir. Öte yandan limit durumunda (1.86) eşitliğinin sol tarafı

$$\lim_{y \rightarrow x} \sum_{k=0}^n \frac{P_k(x)P_k(y)}{\mathcal{N}_k^2} = \sum_{k=0}^n \frac{P_k^2(x)}{\mathcal{N}_k^2} \quad (1.87)$$

olur. Şimdi  $j = 1, 2, \dots, n+1$  için  $x_j$ ,  $P_{n+1}(x)$  polinomunun kökleri olsun. (1.86) ve (1.87) eşitliklerinden

$$P_n(x_j)P'_{n+1}(x_j) = \mathcal{N}_n^2 \frac{a_n}{a_{n+1}} \sum_{k=0}^n \frac{P_k^2(x_j)}{\mathcal{N}_k^2} \quad (1.88)$$

yazılır. Dolayısıyla sol taraftaki ifadenin işareti  $x_j$ 'den bağımsız olup sadece  $a_n/a_{n+1}$  kesrinin işaretine bağlıdır. Fakat  $P'_{n+1}(x)$  polinomunun  $(x_j, x_{j+1})$  aralığında bir yerel ekstremum değeri olduğundan bu aralıkta işaret değişir. Sağ tarafın işareti aynı kaldığından, sol tarafta  $P_n(x)$  polinomu da  $P'_{n+1}(x)$  ile birlikte işaret değiştirmelidir. Bu ise  $P_n(x)$  polinomunun  $(x_j, x_{j+1})$  aralığında en az bir kökü olduğunu gösterir.  $(a, b)$  aralığında bu şekilde  $n$  tane alt aralık olup her biri  $P_n(x)$  polinomunun en az bir kökünü içerir. Öte yandan  $P_n(x)$  polinomunun tam olarak  $n$  tane kökü olduğundan bu alt aralıkların her biri  $P_n(x)$  polinomunun tam olarak bir kökünü içerir. Dolayısıyla  $P_{n+1}(x)$  polinomunun ardışık iki kökü arasında  $P_n(x)$  polinomunun tam olarak bir kökü bulunur.  $\square$

### 1.3. Jacobi Polinomları

(1.11) denkleminde  $\sigma(x) = 1 - x^2$  ve  $\rho(x) = (1 - x)^\alpha(1 + x)^\beta$  olsun. (1.10) denkleminde  $\tau(x) = \beta - \alpha - (\alpha + \beta + 2)x$  ve Teorem 1.5'den  $\lambda_n = n(n + \alpha + \beta + 1)$  bulunur. Karşılık gelen polinomlar (1.20) Rodriguez formülü ile

$$P_n^{(\alpha, \beta)}(x) = \frac{(-1)^n}{2^n n!} (1 - x)^{-\alpha} (1 + x)^{-\beta} \frac{d^n}{dx^n} [(1 - x)^{n+\alpha} (1 + x)^{n+\beta}] \quad (1.89)$$

verilir. Jacobi polinomları için Rodriguez formülünde  $B_n = \frac{(-1)^n}{2^n n!}$  olarak seçilmiştir. Çarpımın türevleri için Leibniz kuralı uygulanırsa Jacobi polinomları

$$P_n^{(\alpha, \beta)}(x) = \frac{(-1)^n}{2^n n!} \sum_{k=0}^n \binom{n}{k} \frac{(\alpha+1)_n}{(\alpha+1)_{n-k}} \frac{(\beta+1)_n}{(\beta+1)_k} (x-1)^{n-k} (x+1)^k \quad (1.90)$$

şeklinde veya (1.7) eşitliğini kullanarak

$$P_n^{(\alpha, \beta)}(x) = \frac{\Gamma(n+\alpha+1)\Gamma(n+\beta+1)}{2^n n!} \sum_{k=0}^n \binom{n}{k} \frac{(x-1)^{n-k} (x+1)^k}{\Gamma(n-k+\alpha+1)\Gamma(k+\beta+1)} \quad (1.91)$$

biçiminde de yazılabilir. Jacobi polinomlarının

$$(1-x^2)y'' + [\beta - \alpha - (\alpha + \beta + 2)x]y' + n(n + \alpha + \beta + 1)y = 0 \quad (1.92)$$

diferansiyel denklemini sağladığı (1.9) denklemden açıktır. Teorem 1.7'deki (1.38) eşitliği  $\alpha > -1$ ,  $\beta > -1$  için  $a = -1$ ,  $b = -1$  olduğunda sağlanır. Yani Jacobi polinomları  $(-1, 1)$  aralığında  $\rho(x) = (1-x)^\alpha (1+x)^\beta$  ağırlık fonksiyonuna göre ortogondur. Buradan

$$\int_{-1}^1 P_n^{(\alpha, \beta)}(x) P_m^{(\alpha, \beta)}(x) (1-x)^\alpha (1+x)^\beta dx = \mathcal{N}_n^2 \delta_{mn} \quad (1.93)$$

yazılabilir. (1.34) eşitliğinde  $\lambda_n = n(n + \alpha + \beta + 1)$  yerine yazılırsa

$$\mathcal{A}_{n-1, n} = n! (-1)^{n-1} \frac{\Gamma(2n + \alpha + \beta)}{\Gamma(n + \alpha + \beta + 1)} \quad (1.94)$$

bulunur. Ayrıca, Teorem 1.8'deki (1.44) ve son eşitlikten Jacobi polinomlarının başkatsayısı

$$a_n = \frac{1}{2^n n!} \frac{\Gamma(2n + \alpha + \beta)}{\Gamma(n + \alpha + \beta + 1)} \quad (1.95)$$

ve (1.45) eşitliğinden alt başkatsayısı

$$\frac{b_n}{a_n} = \frac{(\alpha - \beta)n}{2n + \alpha + \beta} \quad (1.96)$$

bulunur. Öte yandan (1.93) eşitliğindeki normalizasyon sabiti teorem 1.9'daki (1.53) eşitliğinden

$$\mathcal{N}_n^2 = \frac{2^{\alpha+\beta+1}}{n!(2n + \alpha + \beta + 1)} \frac{\Gamma(n + \alpha + 1)\Gamma(n + \beta + 1)}{\Gamma(n + \alpha + \beta + 1)} \quad (1.97)$$

olarak bulunur. Dolayısıyla son üç eşitlikten faydalanılarak Jacobi polinomlarının üç terimli yineleme bağıntısındaki katsayılar

$$\alpha_n = \frac{2(n+1)(n + \alpha + \beta + 1)}{(2n + \alpha + \beta + 1)(2n + \alpha + \beta + 2)} \quad (1.98)$$

$$\beta_n = \frac{\beta^2 - \alpha^2}{(2n + \alpha + \beta)(2n + \alpha + \beta + 2)} \quad (1.99)$$

ve

$$\gamma_n = \frac{2(n+\alpha)(n+\beta)}{(2n+\alpha+\beta)(2n+\alpha+\beta+1)} \quad (1.100)$$

şeklinde bulunur. (1.68) bağıntısında yerine yazılırsa Jacobi polinomlarının sağladığı üç terimli yineleme bağıntısı

$$\begin{aligned} & 2(n+1)(n+\alpha+\beta+1)(2n+\alpha+\beta)P_{n+1}^{(\alpha,\beta)}(x) \\ & + [(2n+\alpha+\beta+1)(\beta^2-\alpha^2) - (2n+\alpha+\beta)_3 x] P_n^{(\alpha,\beta)}(x) \\ & + 2(n+\alpha)(n+\beta)(2n+\alpha+\beta+2)P_{n-1}^{(\alpha,\beta)}(x) = 0 \end{aligned} \quad (1.101)$$

halini alır. Burada

$$P_0^{(\alpha,\beta)}(x) = 1 \quad (1.102)$$

ve

$$P_1^{(\alpha,\beta)}(x) = \frac{1}{2}[\alpha - \beta + (\alpha + \beta + 2)x] \quad (1.103)$$

şeklindedir.

#### 1.4. Chebyshev Polinomları

Birinci tip Chebyshev polinomları  $\alpha = \beta = -1/2$  özel değeri için  $P_n^{(\alpha,\beta)}(x)$  Jacobi polinomlarının bir alt sınıfı olup aralarındaki bağlantı

$$T_n(x) = \frac{n!\sqrt{\pi}}{\Gamma(n+1/2)} P_n^{(-1/2,-1/2)}(x), \quad n \in \mathbb{N} \quad (1.104)$$

şeklindedir. Dolayısıyla Chebyshev polinomları için Rodriguez formülü (1.89) ifadesinden cebirsel işlemler sonucunda

$$T_n(x) = \frac{(-2)^n n!}{(2n)!} \sqrt{1-x^2} \frac{d^n}{dx^n} [(1-x^2)^{n-1/2}] \quad (1.105)$$

şeklinde bulunur. Burada

$$\Gamma(n+1/2) = \frac{(-2n)!\sqrt{\pi}}{2^{2n}n!} \quad (1.106)$$

eşitliği kullanılmıştır. (1.92) ifadesinden birinci tip Chebyshev polinomlarının

$$(1-x^2)y'' - xy' + n^2y = 0 \quad (1.107)$$

diferansiyel denklemini sağladığı açıktır. (1.104), (1.98)-(1.100) eşitlikleri (1.68) eşitliğinde yerine yazılırsa, cebirsel işlemlerin ardından Chebyshev polinomlarının yineleme bağıntısı

$$T_{n+1}(x) = 2xT_n(x) - T_{n-1}(x) \quad (1.108)$$

şeklinde bulunur. Ayrıca,

$$T_0(x) = 1, T_1(x) = x \quad (1.109)$$

olduğu (1.102)-(1.103) ve (1.104) eşitliklerinden açıktır. Birinci tip Chebyshev polinomları  $(-1, 1)$  aralığında

$$\rho(x) = (1 - x^2)^{-1/2} \quad (1.110)$$

ağırlık fonksiyonu altında ortogondur ve (1.93) eşitliğinden

$$\int_{-1}^1 T_n(x)T_m(x)(1 - x^2)^{-1/2}dx = \mathcal{N}_n^2 \delta_{mn} \quad (1.111)$$

yazılabilir. Burada

$$\mathcal{N}_0^2 = \int_{-1}^1 T_0^2(x)(1 - x^2)^{-1/2}dx = \int_{-1}^1 (1 - x^2)^{-1/2}dx = \pi \quad (1.112)$$

iken,  $n \neq 0$  için normalizasyon sabiti (1.104) ve (1.97) eşitliklerini kullanarak

$$\mathcal{N}_n^2 = \frac{\pi}{2}, \quad n = 1, 2, \dots \quad (1.113)$$

olarak bulunur. Derecesi  $n$  olan Chebyshev polinomlarının kökleri

$$x_k = \cos\left(\frac{2k-1}{2n}\pi\right), \quad k = 1, 2, \dots, n \quad (1.114)$$

ve mutlak ekstremum noktaları

$$\bar{x}_k = \cos\left(\frac{k\pi}{n}\right), \quad k = 0, 1, \dots, n \quad (1.115)$$

şeklinindedir. Bu çalışmada, bant genişliği parametresinin çok büyük değerleri için Chebyshev ekstremum noktalarını kullanan dönüştürülmüş sanki-spektral yöntemi kullanılacaktır.

Chebyshev polinomlarının daha birçok özelliği vardır fakat amacımızdan sapmak adına burada bunlardan bahsedilmeyecektir.

## 2. ÖNCEKİ ÇALIŞMALAR

Adi diferansiyel denklemlerin yaklaşık çözümlerinde sanki-spektral yöntemlerin kullanımını Frazer, Jones ve Skan'a (Frazer ve ark., 1937) kadar uzanır. 1938'de Lanczos baz fonksiyonlarının seçiminin ve düğüm noktalarının dağılımının çözümün doğruluğu üzerinde kritik etkisi olduğunu gösterdi (Lanczos, 1938). 1957'de Clenshaw, (Clenshaw, 1957) Chebyshev seri açılımını başlangıç değer problemlerine uyguladı. Daha sonra 1967'de Villadsen ve Stewart (Villadsen ve Stewart, 1967) bu yöntemi sınır değer problemine uyguladı. Spektral yöntemler 1970'lerde adi ve kısmi diferansiyel denklemlerin yaklaşık çözümleri için popüler bir yöntem oldu. Kısmi diferansiyel denklemlere ilk uygulayan ve aynı zamanda sanki-spektral (pseudospectral) terimini ilk kullanan kişi Orszag olmuştur (Canuto ve ark., 2006).

(1.1) eşitliği ile verilen Küremsi dalga denklemin öz değer ve öz fonksiyonlarının yaklaşık hesabı hala aktif bir araştırma alanıdır (Barakat ve Abodayeh, 2005; Boyd, 2004, 2005; Huang ve ark., 2015; Ogburn ve ark., 2014). Özellikle bant genişliği parametresi  $c$  çok büyük olduğunda bir çok nümerik yöntemde sıkıntı yaşanmaktadır. Literatürde asimptotik iterasyon (Barakat ve Abodayeh, 2005), sonlu farklar (Ogburn ve ark., 2014), Hermite-pseudospectral (Huang ve ark., 2015) ve Legendre-Galerkin (Schmutzhard ve ark., 2015) gibi yöntemler kullanılmıştır.

### 3. MATERYAL ve YÖNTEM

#### 3.1. Türev Matrisleri

Bu bölümde, birinci ve ikinci mertebeden sanki-spektral türev matrislerini oluşturacağız.

Sanki-spektral yöntemler bir  $y(x)$  fonksiyonunun  $I_N y(x)$  olarak adlandırılan ve

$$I_N y(x) = P_N(x) = \sum_{n=0}^N \ell_n(x) y_n \quad (3.1)$$

ile verilen  $N$ . derece polinom interpolasyonu üzerine kurulur. Burada  $y_n = y(x_n)$  değerleri  $y(x)$  fonksiyonunun, önceden seçilmiş  $x = x_n$ ,  $n = 0, 1, \dots, N$  noktalarındaki gerçek değerleridir. Ayrıca her bir  $n = 0, 1, \dots, N$  için  $\ell_n(x)$  fonksiyonları

$$\ell_n(x) = \frac{\phi_{N+1}(x)}{(x - x_n) \phi'_{N+1}(x_n)} \quad (3.2)$$

şeklinde tanımlanan Lagrange interpolasyon polinomlarıdır. Burada

$$\phi_{N+1}(x) = \kappa \prod_{m=0}^N (x - x_m) \quad (3.3)$$

kökleri reel ve birbirinden farklı  $(N + 1)$ . derece polinomdur. Lagrange polinomlarının en önemli özelliklerinden biri,  $\delta_{mn}$  Kronecker delta olmak üzere,

$$\ell_n(x_m) = \delta_{mn} = \begin{cases} 1, & m = n \\ 0, & m \neq n \end{cases} \quad (3.4)$$

ile verilir. Bu özellikten faydalanarak,  $P_N(x)$  interpolatının ve  $y(x)$  fonksiyonunun en azından  $x = x_m$ ,  $m = 0, 1, \dots, N$  noktalarında çakıştığı, yani  $y(x_m) = P_N(x_m)$  olduğu görülür. (3.3) ifadesinde  $\kappa$  sabiti teorik olarak bir anlam ifade etmese de, nümerik yöntemlerde önemli bir role sahiptir.

$P_N(x)$  interpolatının türevleri yardımıyla  $y(x)$  fonksiyonunun türevlerini de yaklaşık olarak hesaplamak mümkündür. Dahası  $y(x)$  fonksiyonunun  $x_n$  noktalarındaki  $y^{(k)}(x_m)$  türev değerleri  $y(x_m) = P_N(x_m)$  fonksiyon değerleri cinsinden belirlenebilir. Bunun için ilk olarak (3.1) ifadesinin  $k$ . mertebeden türevinin alınıp  $x = x_m$  noktalarında hesaplanmasıyla

$$P_N^{(k)}(x_m) = \sum_{n=0}^N \ell_n^{(k)}(x_m) y(n), \quad m, n, k = 0, 1, \dots, N \quad (3.5)$$



eşitliği elde edilir. Şimdi bu son eşitlik

$$D^{(k)} = \left[ d_{(mn)}^{(k)} \right] = \ell_n^{(k)}(x_m), \quad m, n, k = 0, 1, \dots, N \quad (3.6)$$

olmak üzere

$$y^{(k)} = D^{(k)}y \quad (3.7)$$

matris vektör-formunda ifade edilebilir. Burada  $y = [y_0, y_1, \dots, y_N]^T$  fonksiyon değerlerini ve  $y^{(k)} = \left[ P_N^{(k)}(x_0), P_N^{(k)}(x_1), \dots, P_N^{(k)}(x_n) \right]$  türev değerlerini içeren  $(N+1)$  boyutlu sütun vektörleridir. (3.6) ifadesi ile tanımlanan  $(N+1) \times (N+1)$  boyutlu  $D^{(k)}$  kare matrisine “türev matrisi” denir.

Şimdi birinci ve ikinci mertebeden türev matrislerinin elemanlarını hesaplayalım.

(3.2) ifadesinin  $x$  değişkenine göre türetilmesiyle

$$\ell_n'(x) = \frac{1}{\phi'(x_n)} \left[ \frac{\phi'_{N+1}(x)}{x-x_n} - \frac{\phi_{N+1}(x)}{(x-x_n)^2} \right] \quad (3.8)$$

eşitliği elde edilir. (3.3) eşitliğinden  $\phi_{N+1}(x_m) = 0$  olduğu göz önüne alınarak birinci derece türev matrisinin köşegen dışı elemanı

$$d_{mn}^{(1)} = \frac{1}{x_m - x_n} \frac{\phi'_{N+1}(x_m)}{\phi'_{N+1}(x_n)}, \quad m \neq n \quad (3.9)$$

olarak bulunur. Köşegen elemanları ( $m = n$ ) ise  $x = x_n$  durumundaki belirsizlikten dolayı

$$d_{nn}^{(1)} = \lim_{x \rightarrow x_n} \ell_n'(x) \quad (3.10)$$

limiti ile bulunabilir. (3.10) ifadesinde belirsizliğin giderilmesiyle

$$d_{nn}^{(1)} = \lim_{x \rightarrow x_n} \frac{1}{2} \frac{\phi''_{N+1}(x)}{\phi'_{N+1}(x_n)} = \frac{1}{2} \frac{\phi''_{N+1}(x_n)}{\phi'_{N+1}(x_n)} \quad (3.11)$$

sonucu elde edilir. Dolayısıyla birinci derece türev matrisinin elemanları

$$d_{mn}^{(1)} = \begin{cases} \frac{1}{x_m - x_n} \frac{\phi'_{N+1}(x_m)}{\phi'_{N+1}(x_n)}, & m \neq n \\ \frac{1}{2} \frac{\phi''_{N+1}(x_n)}{\phi'_{N+1}(x_n)}, & m = n \end{cases} \quad (3.12)$$

şeklinde ifade edilir (Funaro, 1992). Benzer şekilde Lagrange polinomunun ikinci derece türevinin

$$\ell_n''(x) = \frac{1}{\phi'_{N+1}(x_n)} \left[ \frac{\phi''_{N+1}(x)}{(x-x_n)} - 2 \frac{\phi'_{N+1}(x)}{(x-x_n)^2} + 2 \frac{\phi_{N+1}(x)}{(x-x_n)^3} \right] \quad (3.13)$$

$x = x_m$  noktalarında ( $m \neq n$ ) hesaplanmasıyla ikinci mertebe türev matrisinin köşegen dışı elemanları

$$d_{mn}^{(2)} = \frac{1}{x_m - x_n} \left[ \frac{\phi_{N+1}''(x_m)}{\phi_{N+1}'(x_n)} - \frac{2}{(x_m - x_n)} \frac{\phi_{N+1}'(x_m)}{\phi_{N+1}'(x_n)} \right]$$

ve

$$d_{mn}^{(2)} = \lim_{x \rightarrow x_n} \ell_n''(x) = \lim_{x \rightarrow x_n} \frac{1}{3} \frac{\phi_{N+1}'''(x)}{\phi_{N+1}'(x_n)} = \frac{1}{3} \frac{\phi_{N+1}'''(x_n)}{\phi_{N+1}'(x_n)} \quad (3.14)$$

limiti ile de ikinci mertebe türev matrisinin köşegen elemanları bulunur. Sonuç olarak ikinci mertebe sanki-spektral türev matrisinin elemanları

$$d_{mn}^{(2)} = \begin{cases} \frac{1}{x_m - x_n} \left[ \frac{\phi_{N+1}''(x_m)}{\phi_{N+1}'(x_n)} - \frac{2}{(x_m - x_n)} \frac{\phi_{N+1}'(x_m)}{\phi_{N+1}'(x_n)} \right], & m \neq n \\ \frac{1}{3} \frac{\phi_{N+1}'''(x_n)}{\phi_{N+1}'(x_n)}, & m = n \end{cases} \quad (3.15)$$

şeklinde ifade edilebilir (Funaro, 1992). Daha yüksek mertebeden türev matrisinin elemanları da benzer şekilde elde edilebilir. Ancak uygulamalı bilimlerde birçok problem matematiksel olarak ikinci mertebeden bir diferansiyel denklemlerle modellendiği için, daha yüksek mertebeden türev matrisleri burada hesaplanmayacaktır. Ayrıca bazı durumlarda, örneğin Chebyshev sanki-spektral yönteminde,  $k$ . mertebeden türev matrisi, birinci mertebeden türev matrisinin  $k$ . kuvvetidir (Trefethen, 2000). Yani  $D^{(k)} = [D^{(1)}]^k$   $k = 2, 3, \dots$  şeklindedir.

### 3.2. Küçük Bant Genişliği Parametresi İçin Denklemin Sayısal Çözümleri

Dikkat ediliirse (1.1) denklemi ve sınır koşulları simetriktir. Yani  $\theta$  bağımsız değişkeni yerine  $-\theta$  alındığında sistem (denklemler ve sınır koşulları) aynı kalır. Simetrik sistemlerde spektrum (özdeğer kümesi)  $\lambda_n$ , simetrik (çift)  $\lambda_{2n}$  ve anti-simetrik (tek)  $\lambda_{2n+1}$  özdeğerleri içerecek şekilde iki kümeye ayrılabilir ve bunlara karşılık gelen  $y_{2n}(\theta)$  ve  $y_{2n+1}(\theta)$  özfonksiyonları sırasıyla  $\theta$  değişkeninin çift ve tek fonksiyonu olurlar. Bu ayrıştırmanın nümerik açıdan faydası ise  $2N \times 2N$  matris yerine iki tane  $N \times N$  matris kullanarak maliyeti düşürmektir. Şimdi ayrıştırma işlemi için

$$x = \cos 2\theta, \quad x \in (-1, 1) \quad (3.16)$$

çift dönüşümü ile başlarsak (1.1) denklemi

$$(1-x^2)y'' + \frac{1}{2}(1-3x)y' - \left[ \frac{m^2}{2(1+x)} + \frac{c^2(1-x)}{8} \right] y = -\frac{1}{4}\lambda, \quad y(-1) = 0 \quad (3.17)$$

halini alır. Ardından  $x = -1$  noktasındaki tekilliği gidermek için bağımlı değişken üzerinde

$$y(x) = (1+x)^{\frac{m}{2}} u(x) \quad (3.18)$$

dönüşümü ile,

$$(1-x^2)u'' + \left[ m + \frac{1}{2} - \left( m + \frac{3}{2} \right) x \right] u' + q(x)u = vu \quad (3.19)$$

denkleminde ulaşılır. Burada

$$q(x) = \frac{c^2}{8}(x-1) \quad (3.20)$$

ve

$$v_n = \frac{1}{4}[m(m+1) - \lambda_{2n}] \quad (3.21)$$

ifadeleriyle verilir. Son eşitlikten (1.1) denkleminin çift indisli özdeğerleri

$$\lambda_{2n} = m(m+1) - 4v_n, \quad n = 0, 1, \dots \quad (3.22)$$

şeklinde elde edilir. Ayrıca (3.18) dönüşümü (3.17) denklemindeki sınır koşulunu otomatik olarak sağlamaktadır. Bu yüzden,  $u(x)$  fonksiyonu sınırlı kaldığı sürece herhangi bir koşulu sağlamak zorunda değildir. Geri dönüşümler kullanılarak (3.19) denkleminin simetrik özdeğer-özfonksiyon  $(\lambda_{2n}, y_{2n+1})$  çiftlerini verdiği kolayca görülür. Gerçekten de

$$y_{2n}(\theta) = (1 + \cos 2\theta)^{\frac{m}{2}} u(\cos 2\theta) \quad (3.23)$$

$$= 2^{\frac{m}{2}} \cos \theta u(\cos 2\theta) \quad (3.24)$$

özfonksiyonlarının  $\theta$  değişkeninin çift fonksiyonu olduğu açıktır.

Anti-simetrik (tek) özfonksiyonları ele alabilmek için ise önce (1.1) denkleminde  $\phi(\theta)$  çift fonksiyon olmak üzere

$$y(\theta) = \sin(\theta)\phi(\theta) \quad (3.25)$$

dönüşümü uygulanarak

$$-\phi'' + (\tan \theta - 2 \cot \theta)\phi' + \left( \frac{m^2}{\cos^2 \theta} + c^2 \sin^2 \theta \right) \phi = (\lambda - 2)\phi \quad \phi(\pm 1) = 0 \quad (3.26)$$

denklemini elde edilir. Burada  $\phi$  fonksiyonu çift olduğu için simetrik durumda kullanılan  $x = \cos 2\theta$  ve  $\phi(x) = (1+x)^{\frac{m}{2}} u(x)$  dönüşümleri ile

$$(1-x^2)u'' + \left[ m - \frac{1}{2} - \left( m + \frac{5}{2} \right) x \right] u' + q(x)u = vu \quad (3.27)$$

denkleminde ulaşılır. Burada  $q(x)$  halihazırda (3.19) eşitliğinde verilmiş iken

$$v_n = \frac{1}{4}[(m+1)(m+2) - \lambda_{2n+1}] \quad (3.28)$$

(3.21) eşitliğinden biraz farklıdır. Bu ifadeden de tek indisli özdeğerler

$$\lambda_{2n+1} = (m+1)(m+2) - 4v_n \quad (3.29)$$

şeklinde elde edilir.

Dönüşümlerle geri dönüldüğünde

$$y(\theta) = \sin \theta (1 + \cos 2\theta)^{\frac{m}{2}} u(\cos 2\theta) \quad (3.30)$$

$$= 2^{\frac{m}{2}} \sin \theta \cos^m \theta u(\cos 2\theta) \quad (3.31)$$

(3.27) denkleminin, (1.1) denkleminin anti-simetrik (tek) özfonksiyonlarını verdiği açıktır. Aslında, (3.19) ve (3.27) denklemleri

$$v = \frac{1}{4} \left[ \left( \alpha + \beta + \frac{1}{2} \right) \left( \alpha + \beta + \frac{3}{2} \right) - \lambda \right] \quad (3.32)$$

olmak üzere

$$(1-x^2)u'' + [\beta - \alpha - (\alpha + \beta + 2)x]u' + q(x)u = vu, \quad (3.33)$$

şeklinde tek denkleme toplanabilir.  $(\alpha, \beta) = (-\frac{1}{2}, m)$  ve  $(\alpha, \beta) = (\frac{1}{2}, m)$  ikililerinin sırasıyla (3.19) ve (3.27) denklemlerini verdiği açıktır. Öte yandan  $c = 0$ , yani  $q(x) = 0$ , durumunda (3.33) denklemini Jacobi diferansiyel denklemine

$$(1-x^2)u'' + [\beta - \alpha - (\alpha + \beta + 2)x]u' + n(n + \alpha + \beta + 1)u_n = 0 \quad (3.34)$$

dönüşmektedir. Dolayısı ile simetrik özdeğer-özfonksiyon  $(\lambda_{2n}, y_{2n})$  çiftlerini yaklaşık olarak hesaplarken  $P_n^{(-\frac{1}{2}, m)}(x)$ , antisimetrik özdeğer-özfonksiyonları  $(\lambda_{2n+1}, y_{2n+1})$  hesaplarken  $P_n^{(\frac{1}{2}, m)}(x)$  Jacobi polinomlarını sanki-spektral yöntemde baz elemanları olarak kullanacağız.

### 3.3. Denklemin Jacobi Sanki-spektral Formülasyonu

Bu bölümde (3.33) de verilen dönüştürülmüş spheroidal dalga denkleminin Jacobi sanki-spektral yöntemini uygulayacağız. Bunu yaparken  $(\alpha, \beta)$  parametreleri genel tutulacak ve en sonunda simetrik ve antisimetrik özdeğer-özfonksiyon çiftleri için sırasıyla

$(\alpha, \beta) = (-1/2, m)$  ve  $(\alpha, \beta) = (+1/2, m)$  alınacak. (2.3) eşitliğiyle verilen  $\phi_{N+1}(x)$  polinomu

$$\phi_{N+1}(x) = P_{N+1}^{(\alpha, \beta)}(x) \quad (3.35)$$

olarak alınacaktır. Şimdi (2.1) ifadesinden faydalanarak yaklaşık çözüm olarak

$$u(x) \approx P_N(x) = \sum_{n=0}^N \ell_n(x) u_n \quad (3.36)$$

alalım. (3.36) ile verilen yaklaşık çözümü (3.33) denkleminde yerine yazıp  $x = x_m, m = 0, 1, 2, \dots, N$  noktalarında sağlanması istenirse

$$\sum_{n=0}^N \{ (1 - x_m^2) \ell_n''(x_m) + [\beta - \alpha - (\alpha + \beta + 2)x_m] \ell_n'(x_m) + q(x_m) \ell_n(x_m) \} = \mathbf{v} \sum_{n=0}^N \ell_n(x_m) u_n \quad (3.37)$$

cebirsel denklem sistemine ulaşılır. Bu eşitlik matris-vektör formunda

$$\hat{\mathcal{B}} \mathbf{u} = \mathbf{v} \mathbf{u} \quad (3.38)$$

şeklinde yazılabilir. Burada  $\hat{\mathcal{B}}$  matrisinin elemanları  $m, n = 0, 1, \dots, N$  olmak üzere

$$\hat{\mathcal{B}}_{mn} = (1 - x_m^2) d_{(mn)}^{(2)} + [\beta - \alpha - (\alpha + \beta + 2)x_m] d_{(mn)}^{(1)} + q(x_m) \delta_{mn} \quad (3.39)$$

$$= \sigma(x_m) d_{(mn)}^{(2)} + \tau(x_m) d_{(mn)}^{(1)} + q(x_m) \delta_{mn} \quad (3.40)$$

şeklinindedir. (2.12) ve (2.15) türev matrislerini (3.39) eşitliğinde kullanarak  $\hat{B}$  matrisinin elemanlarının açık gösterimi

$$\hat{\mathcal{B}}_{mn} = -\frac{1}{6} \begin{cases} \frac{12\sigma(x_m)}{(x_m - x_n)^2} \frac{\phi'_{N+1}(x_m)}{\phi'_{N+1}(x_n)} & \text{if } m \neq n \\ \frac{\tau(x_n)}{\sigma(x_n)} [\tau(x_n) - 2\sigma'(x_n)] - 2N [\tau' + \frac{1}{2}(N+1)\sigma''] - 6q(x_m) & \text{if } m = n. \end{cases} \quad (3.41)$$

olarak bulunur. Burada  $\hat{\mathcal{B}}_{mn}$  matrisinin köşegen elemanları bulunurken (3.19) denkleminde faydalanılmıştır. Dikkat edilirse  $\hat{\mathcal{B}}$  matrisi simetrik değildir. Fakat  $\mathcal{B} = \mathcal{S}^{-1} \hat{\mathcal{B}} \mathcal{S}$  şeklinde bir benzerlik dönüşümü ile simetrik hale getirilebilir. Gerçekten de  $\mathcal{S}$  matrisi

$$\mathcal{S}_{mn} = \sqrt{1 - x_m^2} \phi'_{N+1}(x_m) \delta_{mn} = \sqrt{\sigma(x_m)} \phi'_{N+1}(x_m) \delta_{mn} \quad (3.42)$$

şeklinde köşegen matris olarak seçilirse

$$\mathcal{B}_{mn} = -\frac{1}{6} \begin{cases} \frac{12\sqrt{(1-x_m^2)(1-x_n^2)}}{(x_m-x_n)^2} & \text{if } m \neq n \\ \frac{\tau(x_n)}{\sigma(x_n)} [\tau(x_n) - 2\sigma'(x_n)] - 2N[\tau' + \frac{1}{2}(N+1)\sigma''] - 6q(x_m) & \text{if } m = n. \end{cases} \quad (3.43)$$

Bilindiği gibi benzer matrislerin özdeğerleri aynıdır. Dolayısıyla (3.38) denklem sisteminin özdeğerleri, yani (1.1) denkelminin yaklaşık özdeğerleri

$$\mathcal{B}\mathbf{y} = \mathbf{v}\mathbf{y} \quad (3.44)$$

simetrik denklem sisteminin öz değerleridir. Öte yandan

$$\hat{\mathcal{B}}\mathbf{u} = \mathbf{v}\mathbf{u} \Rightarrow \mathcal{S}^{-1}\mathcal{B}\mathcal{S}\mathbf{u} = \mathbf{v}\mathbf{u} \Rightarrow \mathcal{B}(\mathcal{S}\mathbf{u}) = \mathbf{v}(\mathcal{S}\mathbf{u}) \quad (3.45)$$

olduğundan (3.38) denkleminin özvektörleri ile (3.44) denklemin özvektörleri arasında

$$\mathbf{y} = \mathcal{S}\mathbf{u} \quad (3.46)$$

bağıntısı vardır. Simetrik  $\mathcal{B}$  matrisinin elemanlarına, yani (3.43) ifadesi sadece  $x_m$  noktalarının bilinmesini gerektirmektedir. Aslında (3.35) seçimi ile  $x_m$  noktalarını  $(N+1)$ . derece Jacobi polinomunun kökleri olarak atadık. Jacobi polinomların kökleri (Golub ve Welsch, 1969) algoritmasını kullanarak hesaplanabilir. Bu algoritma  $L_2$  normuna göre normalize edilmiş Jacobi polinomlarının

$$\Psi(x) = \frac{1}{\mathcal{N}_n} P_n^{(\alpha,\beta)}(x), \quad \mathcal{N}_n^2 = \frac{2^{\alpha+\beta+1}}{2n+\alpha+\beta+1} \frac{\Gamma(n+\alpha+1)\Gamma(n+\beta+1)}{\Gamma(n+\alpha+\beta+1)n!} \quad (3.47)$$

yineleme bağıntısının

$$A_{n+1}\Psi_{n+1}(x) + (B_n - x)\Psi_n(x) + A_n\Psi_{n-1}(x) = 0 \quad (3.48)$$

kullanılmasına dayanır. (3.48) ifadesi  $n = 0, 1, \dots, N$  için yazılırsa homojen olmayan

$$\begin{bmatrix} B_0 - x & A_0 & & & 0 \\ A_0 & B_1 - x & A_1 & & \\ & A_1 & B_2 - x & \ddots & \\ & & \ddots & \ddots & A_{N-1} \\ 0 & & & A_{N-1} & B_N - x \end{bmatrix} \begin{bmatrix} \Psi_0(x) \\ \Psi_1(x) \\ \vdots \\ \Psi_{N-1}(x) \\ \Psi_N(x) \end{bmatrix} = \begin{bmatrix} 0 \\ 0 \\ \vdots \\ 0 \\ \Psi_{N+1}(x) \end{bmatrix} \quad (3.49)$$

lineer denklem sistemi elde edilir. Şimdi

$$\Psi_{N+1}(x) = \frac{1}{\mathcal{N}_{N+1}} P_{N+1}^{(\alpha,\beta)} = 0 \quad (3.50)$$

olmasını, yani (3.50) polinomunun köklerini bulmak istersek

$$R = \begin{bmatrix} B_0 & A_0 & & & 0 \\ A_0 & B_1 & A_1 & & \\ & A_1 & B_2 & \ddots & \\ & & \ddots & \ddots & A_{N-1} \\ 0 & & & A_{N-1} & B_N \end{bmatrix}, \quad \Psi = \begin{bmatrix} \Psi_0(x) \\ \Psi_1(x) \\ \vdots \\ \Psi_{N-1}(x) \\ \Psi_N(x) \end{bmatrix} \quad (3.51)$$

olmak üzere

$$(R - xI)\Psi = 0 \Rightarrow R\Psi = x\Psi \quad (3.52)$$

matris özdeğer problemiyle karşılaşırız. Dolayısıyla  $P_{N+1}^{(\alpha,\beta)}(x)$  Jacobi polinomunun kökleri simetrik tridiagonal  $R$  matrisinin özdeğerleridir. Burada Jacobi polinomları için

$$A_n = \frac{2}{2n + \alpha + \beta} \sqrt{\frac{n(n + \alpha)(n + \beta)(n + \alpha + \beta)}{(2n + \alpha + \beta - 1)(2n + \alpha + \beta + 1)}} \quad (3.53)$$

ve

$$B_n = \frac{\beta^2 - \alpha^2}{(2n + \alpha + \beta)(2n + \alpha + \beta + 2)} \quad (3.54)$$

şeklinde (1.97)-(1.100) eşitlikleri kullanılarak elde edilir.

İlerde araştırma bulgularındanda görüleceği gibi bu formülasyon küçük bant genişliği parametresi değerleri için uygun olup, büyük bant genişliği parametresi değerleri için verimsiz ve pahalı bir yöntemdir. Dolayısıyla bir sonraki bölümde büyük bant genişliği parametresi için bir yöntem vereceğiz.

### 3.4. Büyük Bant Genişliği Parametresi İçin Denklemin Sayısal Çözümleri

(1.1) Küresel dalga denklemi, (3.1) ve (3.2) alt bölümlerinde belli dönüşümler ile uygun bir forma dönüştürülmüş, Jacobi sanki-spektral yöntemi yardımıyla  $c$  parametresinin küçük değerleri için yüksek doğrulukta sayısal sonuçlar elde edilmişti. Bu kısımda ise bant genişliği parametresinin büyük değerleri için de yüksek doğrulukta sayısal sonuçlar veren bir yöntem sunulacaktır. Bunun için (1.1) denklemde bağımsız değişken üzerinde

$$x = \sin \theta, \quad x \in (-1, 1) \quad (3.55)$$

dönüşümü uygulandığında küresel dalga denkleminin cebirsel formu

$$(1 - x^2)y'' - 2xy' - \left( \frac{m^2}{1 - x^2} + c^2x^2 \right) y = -\lambda(c, m)y, \quad y(\pm 1) = 0 \quad (3.56)$$

elde edilir. Ardından  $u(x)$ ,  $[-1, 1]$  aralığında sonlu bir fonksiyon olmak üzere, son denkleminde  $(1 - x^2)^{-1}$  ile orantılı terimden kurtulmak için bağımlı değişken üzerinde

$$y(x) = (1 - x^2)^{\frac{m}{2}} u(x) \quad (3.57)$$

dönüşümü yapılırsa

$$(1 - x^2)u'' - 2(m + 1)xu' - (c^2x^2)u = vu, \quad v = m(m + 1) - \lambda(c, m) \quad (3.58)$$

denkleminde elde edilir. Dikkat edilirse (3.57) dönüşümü ile (3.56) denklemindeki sınır koşulları otomatik olarak sağlanmaktadır. Dolayısıyla (3.58) denkleminde sınır koşulu bulunmamaktadır.

### 3.5. Dönüştürülmüş Chebyshev Sanki-spektral Yöntemi

Büyük  $c$  değerleri için denklemin özfonksiyonları sıfırın küçük bir komşuluğu dışında sifira çok yakın değerler almaktadır. Öte yandan şebeke noktaları olarak kullanılan Jacobi polinomlarının kökleri aralığın uç noktalarında daha yoğun, orijin civarında ise seyrek bir dağılım göstermektedir. Bu yüzden şebeke noktalarını sıfırın çok küçük bir komşuluğunda yoğunlaştırmak, aralığın uçlarına doğru ise seyreltmek gerekir. İşte bunun için dönüştürülmüş sanki-spektral yöntemler kullanılacaktır. Genelde koordinat dönüşümü

$$g'(x; \gamma) > 0, \quad g(\pm 1, \gamma) = \pm 1, \quad \gamma \in D_\gamma \quad (3.59)$$

olmak üzere

$$t = g(x; \gamma), \quad x \in [-1, 1], \quad \gamma \in D_\gamma \quad (3.60)$$

şeklindedir. Burada,  $D_\gamma$   $\gamma$ 'nın tanım aralığıdır. (3.60) dönüşümü terslenebilir ve tersi

$$x = g^{-1}(t; \gamma) := h(t; \gamma), \quad t \in [-1, 1], \quad \gamma \in D_\gamma \quad (3.61)$$

biçimindedir.

Pratikte birkaç ilginç dönüşüm kullanılmıştır. Özelde Kosloff ve Talzer bir parametrelili

$$t = g(x; \gamma) = \frac{\arcsin(\gamma x)}{\arcsin \gamma}, \quad 0 < \gamma < 1 \quad (3.62)$$

dönüşümünü tanımlamışlardır. Bu dönüşüm  $\gamma \rightarrow 1^-$  Chebyshev-Gauss Lobatto noktalarını eşit aralıklı noktalara doğru götürür. (Kosloff ve Tal-Ezer, 1993) sınır katı bulu-



nan problemlerin yaklaşık çözümlerini dönüştürülmüş Chebyshev yöntemiyle hesaplamak için

$$t = g(x; \gamma) = \frac{4}{\pi} \arctan \left[ \tan \frac{\pi}{4} \gamma (x-1) \right] + 1 \quad (3.63)$$

gönderimini kullanmışlardır. Bu dönüşüm  $\gamma \rightarrow 0^+$  ( $\gamma \rightarrow 0^-$ ) noktaları  $t = -1$  ( $t = +1$ ) civarında yoğunlaştırmaktadır. (Bayliss ve ark., 1989) iki parametrelili

$$t = g(x; \gamma) = \gamma_2 + \frac{1}{\gamma_1} [\tan(a_1(x - a_0))], \quad \gamma \in D_\gamma \quad (3.64)$$

dönüşümünü tanımlamışlardır. Burada

$$D_\gamma = \{(\gamma_1, \gamma_2); \quad \gamma_1 > 0, \quad -1 \leq \gamma_2 \leq 1\} \quad (3.65)$$

şeklindedir. Bu dönüşümde  $\gamma_1$  değeri arttıkça noktalar  $t = \gamma_2$  civarında yığılır.

$$k_1 = \arctan(\gamma_1(1 + \gamma_2)), \quad k_2 = \arctan(\gamma_1(1 - \gamma_2)) \quad (3.66)$$

olmak üzere, eğer  $a_0$  ve  $a_1$  sabitleri

$$a_0 = a_0(\gamma) := \frac{k_1 - k_2}{k_1 + k_2}, \quad a_1 = a_1(\gamma) := \frac{k_1 + k_2}{2} \quad (3.67)$$

şeklinde seçilirse  $g = (\pm 1, \gamma) = \pm 1$  şartları sağlanır ve bu seçimlerle

$$-1 \leq a_0 \leq 1, \quad 0 < a_1 < \frac{\pi}{2} \quad (3.68)$$

olduğu kolayca görülebilir. Bu dönüşümün tersi

$$x = g^{-1}(t; \gamma) = a_0 + \frac{1}{a_1} \arctan[\gamma_1(t - \gamma_2)] \quad (3.69)$$

şeklinde açıkça yazılabilir.

Bu dönüşümlerden bizim problemimize uygun olanı son dönüşümdür. Ayrıca grid noktalarını sıfırın civarında yoğunlaştırmamız gerektiğinden bu dönüşümde  $\gamma_2 = 0$  alınacaktır.

Ayrıca (3.64) ve (3.69) ifadelerinden

$$\frac{d}{dt} = \frac{d}{dx} \frac{dx}{dt} \quad (3.70)$$

zincir kuralını kullanarak

$$\frac{d}{dt} = \frac{\gamma_1}{a_1} \frac{1}{1 + [\gamma_1(t - \gamma_2)]^2} \frac{d}{dx} \quad (3.71)$$

veya

$$\frac{d}{dt} = \frac{\gamma_1}{a_1} \frac{1}{1 + \tan^2[a_1(x - a_0)]} \frac{d}{dx} := F(x) \frac{d}{dx} \quad (3.72)$$

yazılabilir. Benzer şekilde

$$\frac{d^2}{dt^2} = \frac{d}{dt} \left( \frac{d}{dx} \frac{dx}{dt} \right) = \frac{d^2}{dx^2} \left( \frac{dx}{dt} \right)^2 + \frac{d}{dx} \frac{d^2x}{dt^2} \quad (3.73)$$

olduğundan

$$\frac{d^2}{dt^2} = \left( \frac{\gamma_1}{a_1} \frac{1}{1 + \tan^2[a_1(x - a_0)]} \right)^2 \frac{d^2}{dx^2} + \left( \frac{-2\gamma_1^2}{a_1} \frac{\tan[a_1(x - a_0)]}{[1 + \tan^2(a_1(x - a_0)^2)]^2} \right) \frac{d}{dx} \quad (3.74)$$

$$= F^2(x) \frac{d^2}{dx^2} + F'(x) \frac{d}{dx} \quad (3.75)$$

bulunur. Şimdi Chebyshev türev matrislerini hatırlayalım.

**Teorem 3.1** (Trefethen, 2000)

$$x_m = \cos\left(\frac{m\pi}{N}\right), \quad c_m = \begin{cases} 2, & m = 0 \text{ veya } N, \\ 1, & \text{diğer durumlarda} \end{cases} \quad (3.76)$$

olmak üzere birinci mertebe chebyshev türev matrisi

$$D_{mn}^{(1)} = \begin{cases} \frac{c_m (-1)^{m+n}}{c_n x_m - x_n}, & m \neq n \quad m, n = 0, 1, 2, \dots, N \\ \frac{2N^2 + 1}{6}, & m = n = 0 \\ \frac{-x_m}{2(1 - x_m^2)}, & m = 1, 2, \dots, N - 1 \\ -\frac{2N^2 + 1}{6}, & m = n = N. \end{cases} \quad (3.77)$$

şeklindedir.

Ayrıca yüksek mertebeden Chebyshev türev matrisleri, birinci mertebe Chebyshev türev matrisinin kuvvetleri

$$D^{(k)} = [D^{(1)}]^k \quad k = 2, 3, \dots \quad (3.78)$$

şeklinde hesaplanabilir (Trefethen, 2000). Dolayısıyla (3.72) ve Teorem 3.1 'den birinci mertebe dönüştürülmüş Chebyshev türev matrisi

$$F = \text{diag}(F(x_0), F(x_1), \dots, F(x_n)) \quad (3.79)$$

ve

$$F_1 = \text{diag}(F'(x_0), F'(x_1), \dots, F'(x_n)) \quad (3.80)$$

köşegen matrisler olmak üzere

$$\hat{D}^{(1)} = FD^{(1)} \quad (3.81)$$

bulunur. Benzer şekilde ikinci mertebe dönüştürülmüş Chebyshev türev matrisi

$$\hat{D}^{(2)} = F^2D^{(2)} + F_1D^{(1)} \quad (3.82)$$

halini alır.

### 3.6. Yöntemin Denkleme Uygulanması

Dönüştürülmüş Chebyshev sanki spektral yöntemi (3.58) denklemine uygulanırsa

$$\mathbf{B} = [\text{diag}\{1 - x_j^2\}\hat{D}^{(2)} - \text{diag}\{2(m+1)x_j\}\hat{D}^{(1)} - \text{diag}\{c^2 - x_j^2\}] \quad (3.83)$$

ve  $j = 0, 1, \dots, N$  olmak üzere

$$\mathbf{B}\mathbf{u} = \mathbf{v}\mathbf{u} \quad (3.84)$$

ayrık sistemi elde edilir. Buradan büyük  $c$  değerleri için küremsi dalga denkleminin özdeğerleri (3.58) yardımıyla

$$\lambda_n(c, m) = m(m+1) - v_n, \quad n = 0, 1, \dots, N \quad (3.85)$$

şeklinde ve özfonksiyonların şebeke noktalarındaki değerleri (3.57) yardımıyla

$$y_n(x_j) = (1 - x_j^2)^{\frac{m}{2}} u_n^j \quad (3.86)$$

şeklinde ifade edilebilir. Burada  $u_n^j$  (3.84) lineer denklem sisteminin  $n$ 'inci özvektörünün  $j$ 'inci elemanıdır.

## 4. ARAŞTIRMA BULGULARI ve TARTIŞMA

Bu bölümde bir önceki bölümde verilen yöntemler kullanılarak farklı  $c$  ve  $m$  değerleri için küresel dalga denkleminin yaklaşık özdeğerleri tablolar halinde verilecektir. Bunun için (3.38) eşitliğinde elde edilen  $\mathcal{B}$  matrisini bilgisayar yardımıyla köşegenleştirerek (1.1) denkleminin özdeğerleri elde edilecektir. Programlama dili olarak matlab ve fortran kullanılmıştır.

Çizelge 4.1. Matris boyutu  $N$  artarken  $\lambda_0(1,0)$  ve  $\lambda_{1000}(1,0)$  özdeğerlerindeki doğruluk artışı. Baz fonksiyonları derecesi  $N$ , mertebesi  $(\alpha, \beta) = (-1/2, 0)$  olan Jacobi polinomlarıdır.

$N$	$\lambda_0(1,0)$	$N$	$\lambda_{1000}(1,0)$
4	0.3190000551469	501	1001000.50001
5	0.3190000551468927398	502	1001000.5000001560941
6	0.319000055146892739783982	503	1001000.50000015609406982910038
7	0.31900005514689273978398198587	504	1001000.5000001560940698291003783
8	0.31900005514689273978398198587	505	1001000.5000001560940698291003783

Çizelge 4.1.'de matris boyutu  $N$  artarken (1.1) küresel dalga denkleminin  $c = 1$  ve  $m = 0$  için  $\lambda_0$  ve  $\lambda_{1000}$  özdeğerlerinin doğruluklarının artışı verilmiştir. Çizelgeden de görüldüğü üzere matris boyutunu bir arttırmak özdeğerlerde ortalama altı basamak doğruluk artışına sebep olmaktadır.

Çizelge 4.2. Küresel dalga denkleminin bazı yüksek çift indeksli özdeğerlerini verilen doğrulukta elde etmek için gerekli en küçük matris boyutu.

$n$	$N$ when $(\alpha, \beta) = (-\frac{1}{2}, 0)$	$\lambda_n(1,0)$
100	55	10100.500015471905647093185536399
200	105	40200.500003886917446770035728532
500	255	250500.50000062375510956230988949
1000	505	1001000.5000001560940698291003783

Çizelge 4.3. Zonal dalga sayısı  $m$  değişirken  $\lambda_{11}(10,m)$  özdeğerini verilen doğrulukta elde etmek için gerekli en küçük matris boyutları. Baz fonksiyonları derecesi  $N$ , mertebesi  $(\alpha, \beta) = (-1/2, m)$  olan Jacobi polinomlarıdır.

$m$	$N$	$\lambda_{11}(10,m)$
0	26	184.54761858852457640833705901739
$10^{-1}$	20	186.80600167867847699593805333280
1	19	207.70676111785875039455851329530
10	17	501.10179565732031970129421278971
$10^2$	12	12441.764971364585860241721862947
$10^3$	9	1023133.1303999773054788754589760

Çizelge 4.2.'de ise bazı yüksek çift indeksli özdeğerleri, verilen doğrulukta elde etmek için gerekli en küçük matris boyutu verilmiştir. Çizelgeden de anlaşılacağı üzere yöntem çok hızlı yakınsamaktadır. Örneğin  $\lambda_{1000}$  özdeğerini herhangi bir doğrulukta ekrana yazdırmak için gerekli en küçük matris boyutu  $N = 501$ 'dir. Bununla birlikte  $N = 505$  değeri bu özdeğeri çizelgede verilen doğrulukta elde etmek için yeterlidir. Yani, matris boyutunu sadece dört artırarak 25 ondalık basamak doğruluk elde edilmiştir.

Çizelge 4.4. Bant genişliği  $c$  değişirken  $\lambda_{11}(c, m)$  özdeğerlerini verilen doğrulukta elde etmek için gerekli en küçük matris boyutları. Baz fonksiyonları derecesi  $N$ , mertebesi  $(\alpha, \beta) = (-1/2, 10)$  olan Jacobi polinomlarıdır.

$c$	$N$	$\lambda_{11}(c, 10)$
0	6	462.000000000000000000000000000000
$10^{-1}$	9	462.00391869871637233605123379790
1	12	462.39186517444384925685069161521
10	17	501.10179565732031970129421278971
$10^2$	51	2345.010135577631447774866243889
$10^3$	162	23034.2246949267005286970936261

Çizelge (4.3.)'de (1.1) küresel dalga denkleminin  $c = 10$  için zonal dalga sayısı  $m$  değişirken,  $\lambda_{11}$  özdeğerinin rapor edilen doğrulukta elde edilmesi için gerekli en küçük matris boyutu  $N$  verilmiştir. İlginç bir şekilde  $m$  arttıkça matris boyutu  $N$  azalmaktadır.

Çizelge 4.5.  $n = 0, 50, 100, 200$  için küresel dalga denkleminin  $\lambda_{2n}(\sqrt{10}, 0)$  özdeğerlerinin doğruluk artışı. Baz fonksiyonları derecesi  $N$ , mertebesi  $(\alpha, \beta) = (-1/2, 0)$  olan Jacobi polinomlarıdır.

$N$	$\lambda_0(\sqrt{10}, 0)$	$N$	$\lambda_{100}(\sqrt{10}, 0)$
5	2.305 040 10	51	10105.0
6	2.305 040 107 940	52	10105.000 433
7	2.305 040 107 940 431 6	53	10105.000 433 246 48
8	2.305 040 107 940 431 635 6	54	10105.000 433 246 482 907 99
9	2.305 040 107 940 431 635 679 732	55	10105.000 433 246 482 907 993 562 45
10	2.305 040 107 940 431 635 679 732 102 9	56	10105.000 433 246 482 907 993 562 450
11	2.305 040 107 940 431 635 679 732 102 9	57	10105.000 433 246 482 907 993 562 450
$N$	$\lambda_{200}(\sqrt{10}, 0)$	$N$	$\lambda_{400}(\sqrt{10}, 0)$
101	40205.00	201	160405.00
102	40205.000 108 8	202	160405.000 027 2
103	40205.000 108 835 777	203	160405.000 027 275 870 8
104	40205.000 108 835 777 578 646 2	204	160405.000 027 275 870 838 131 19
105	40205.000 108 835 777 578 646 209 290	205	160405.000 027 275 870 838 131 198 65
106	40205.000 108 835 777 578 646 209 290	206	160405.000 027 275 870 838 131 198 65

Çizelge (4.4.)'de ise zonal dalga sayısı  $m = 10$  ve bant genişliği parametresi  $c$  değişirken,  $\lambda_{11}(c, 10)$  özdeğerinin çizelgedeki doğrulukta elde edilmesi için gerekli en küçük matris boyutu  $N$  değerleri verilmiştir. Çizelge 4.4.'den açıkça görülmektedir ki  $c$  değeri artarken,  $N$  matris boyutu çok hızlı bir şekilde büyümektedir.

Çizelge 4.5.'de ise  $c^2 = 10$  ve  $m = 0$  değerleri için bazı özdeğerlerin doğruluk artışları rapor edilmiştir. Çizelgeden görüldüğü üzere matris boyutunu bir artırmak ortalama dört-beş basamak doğruluk artışına sebep olmaktadır. Çizelge 4.1. ile karşılaştırıldığında, altı-sekiz basamak arası olan doğruluk artışının dört-beş basamağa düştüğü görülmektedir. Bunun sebebi ise bant genişliği parametresinin  $c = 1$  iken  $c = \sqrt{10}$  olmasıdır. Çizelgelerden açıkça görülmektedir ki  $c$  parametresindeki artış yöntemin yakınsama hızını önemli ölçüde düşürmektedir.

Çizelge 4.6. Çok büyük  $c$  parametreleri için bazı çift indeksli özdeğerler. Baz fonksiyonları derecesi  $N$ , mertebesi  $(\alpha, \beta) = (-1/2, 0)$  olan Jacobi polinomlarıdır.

$N$	$n$	$c$	$\lambda_{2n}(c, 0)$	$\lambda_{2n}(c, 0)$ (Huang ve ark., 2015)
300	0	$10^4$	9999.24998333	9999.2499812476
	2		49996.24972134	49996.2497186864
	4		89989.24873225	89989.2487058253
	6		129978.24930688	129978.2463421388
	900		$10^5$	99999.2500
2	499996.2499	499996.249971		
4	899989.2554	899989.249870		
6	1299978.7679	1299978.249634		

Çizelge 4.7. Çok büyük  $c$  parametreleri için bazı çift indeksli özdeğerler.

$n$	$N_J$	$N_{DC}$	$\gamma_1^{opt}$	$c$	$\lambda_{2n}(c, 0)$ (Jacobi)	$\lambda_{2n}(c, 0)$ (DC)	$\lambda_{2n}(c, 0)$ (Huang ve ark., 2015)
0	300	50	35	$10^4$	9999.24998333	9999.2499812461	9999.2499812476
2					49996.24972134	49996.2497201367	49996.2497186864
4					89989.24873225	89989.2483888987	89989.2487058253
6					129978.24930688	129978.2668896432	129978.2463421388
0					900	62	73
2	499996.2499	499996.24997187	499996.249971				
4	899989.2554	899989.24987046	899989.249870				
6	1299978.7679	129978.24962771	129978.249634				

Yine Çizelge 4.6. göstermektedir ki çok büyük  $c$  değerleri için matris boyutu dramatik bir şekilde artarken sadece birkaç basamak doğruluk elde edilmektedir. Bant genişliği parametresi daha da artırıldığında Jacobi sanki-spektral yöntemi sonuç vermemektedir. Fakat Çizelge 4.6.'dan da görüldüğü gibi dönüştürülmüş Chebyshev (DC) sanki-spektral yöntemi kullanıldığında oldukça küçük matris boyutlarında dahi yüksek doğrulukta sonuçlar elde edilmiştir. Örneğin bant genişliği parametresi  $c = 10^4$  iken, Jacobi sanki-spektral yöntemiyle 8-10 basamak doğruluk elde etmek için gerekli matris boyutu  $N = 300$  olmaktadır. Fakat, dönüştürülmüş Chebyshev sanki-spektral yöntemi kullanıldığında 10-12 basamak doğruluk elde etmek için gerekli matris boyutu  $N = 60$  olmaktadır.

Açıkça görüldüğü üzere Jacobi polinomları üzerine kurulan klasik sanki-spektral şemalar bant genişliği parametresinin çok büyük değerleri için kullanışsız bir hal almaktadır. Bununla birlikte, sanki-spektral şemada dönüştürülmüş Chebyshev polinomları kullanıldığında, çok büyük  $c$  değerleri için denklemin özdeğerleri oldukça küçük matris boyutlarında bile yüksek doğrulukta hesaplanabilmektedir.

Çizelge 4.8.  $c = 10^4$  için ilk birkaç çift indeksli özdeğerler.

$n$	$N$	$\gamma_1^{opt}$	$\lambda(10^4, 0)(DC)$	(Huang ve ark., 2015)
0	90	20	9999.24998124842386	9999.249981247640
2			49996.24971868807188	49996.24971868644
4			89989.24870582588483	89989.24870582526
6			129978.24634213931859	129978.2463421388
8			169963.24202680154121	169963.2420268017
10			209944.23515867584501	209944.2351586839
12			249921.22513674607035	249921.2251363630

Fakat, matris boyutunun küçük olması için dönüşümde bulunan  $\gamma_1$  parametresinin seçimi büyük önem arz etmektedir. Bu parametrenin optimum değerini ( $\gamma_1^{opt}$ ) bulmak için sistematik bir yol olmayıp deneme yanılma yöntemiyle bulunmaktadır. Burada optimum değerden kasıt, verilen doğruluğu elde etmek için gerekli en küçük matris boyutunun elde edildiği parametre değeridir. Çizelge 4.7.'de son sütun karşılaştırma amaçlı verilmiştir.

Çizelge 4.9. Çok büyük  $c$  parametreleri için bazı çift indeksli özdeğerler.

$n$	$N$	$\gamma_1^{opt}$	$\lambda(10^5, 0)$	(Huang ve ark., 2015)
0	105	103	99 999.249 998 080 413 21	99999.24999812440
2			499996.24997188552516	49996.249971716
4			899989.24987056641839	899989.2498706253
6			1299978.24963431758806	1299978.249634355
8			1699963.24920305632986	1699963.249203085
10			2099944.24851671652868	2099944.248516781
12			2499921.24751564534381	2499921.247515428

Çizelge 4.8.,  $c = 10^4$  parametre değeri için ilk yedi çift indeksli özdeğerin DC sanki-spektral yöntemi ile elde edilen yaklaşık değerlerini içermektedir. Son sütun karşılaştırma amacıyla (Huang ve ark., 2015) çalışmasından alınmıştır. Bu çalışmada yazarlar  $c$  parametresinin karekökü ile ölçeklendirilmiş Hermite fonksiyonlarını baz olarak kullanan bir spektral yöntem kullanmışlardır.

Benzer şekilde Çizelge 4.9. ve Çizelge 4.10. sırasıyla  $c = 10^5$  ve  $c = 10^6$  için sayısal sonuçları içermektedir. Dikkat edilirse bu üç çizelgede de DC sanki-spektral ve

ölçeklendirilmiş Hermite spektral yöntemleriyle elde edilen sayısal sonuçlar birbirleriyle oldukça uyumludur.

Çizelge 4.10. Çok büyük  $c$  parametreleri için bazı çift indeksli özdeğerler.

$n$	$N$	$\gamma_1^{opt}$	$\lambda_n(10^6, 0)$	(Huang ve ark., 2015)
0	130	103	999999.24999980628490	999999.2499998127
2			4999996.24999722372741	4999996.249997196
4			8999989.24998725764453	8999989.249987049
6			12999978.24996347166598	12999978.24996351
8			16999963.24992034211755	16999963.24992045
10			20999944.24985164403915	20999944.24985144
12			24999921.24975156039000	24999921.24975141

Çizelge 4.11. Çok büyük  $c$  parametreleri için bazı çift indeksli özdeğerler.

$n$	$N$	$\gamma_1^{opt}$	$\lambda_n(10^7, 0)(DC)$	Asimptotik	(Alıcı ve Shen, 2017)
0	170	289	9999999.24999823	9999999.24999998	9999999.24999998
2			49999996.249999150	49999996.24999972	49999996.24999971
4			89999989.249998450	89999989.24999870	89999989.24999870
6			129999978.249996796	129999978.24999635	129999978.24999634
8			169999963.249993264	169999963.24999204	169999963.24999203
10			209999944.249981880	209999944.24998516	209999944.24998516
12			249999921.249972999	249999921.24997514	249999921.24997515
14			289999894.249961853	289999894.24996138	289999894.24996139
16			329999863.249941706	329999863.24994326	329999863.24994328
18			369999828.249918341	369999828.24992019	369999828.24992021
20			409999789.249890208	409999789.24989158	409999789.24989160

Çizelge 4.11.'de  $c = 10^7$  için bazı çift indeksli özdeğerler verilmiştir. Sonuçlar önce büyük  $c$  değerleri için geçerli olan

$$\begin{aligned}
\lambda_n(c, m) = & ck + m^2 - \frac{1}{8}(k^2 + 5) - \frac{k}{64c}(k^2 + 11 - 32m^2) \\
& - \frac{1}{1024c^2} [5(k^4 + 26k^2 + 21) - 384m^2(k^2 + 1)] \\
& - \frac{1}{c^3} \left[ \frac{1}{128^2} (33k^5 + 1594k^3 + 5621) - \frac{m^2}{128} (37k^3 + 167k) + \frac{m^4}{8} k \right] \\
& + O(c^{-4}), \quad k = 2n + 1
\end{aligned} \tag{4.1}$$

asimptotik formülü ile karşılaştırılmıştır (Abramowitz ve Stegun, 1970). Sonuçların uyum içinde olduğu görülmektedir. Ardından (Alıcı ve Shen, 2017) ile karşılaştırma yapılmıştır. Bu çalışmada araştırmacılar, özel dönüşümlerle denklemi  $(-1, 1)$  aralığından  $(-\infty, \infty)$  aralığında tanımlı bir denkleme dönüştürmüş ve  $c$  parametresinin karekökü ile ölçeklendirilmiş Hermite polinomlarını sanki-spektral şemada kullanmışlardır. Tablo-daki sonuçları ise  $N = 30$  matris boyutunda elde etmişlerdir. Her ne kadar elde edilen



sonuçlar uyum içinde olsa da (Alicı ve Shen, 2017) çalışmasında kullanılan yöntemin bu çalışmadakinden daha verimli olduğu açıktır.

Çizelge 4.12. Çok büyük  $c$  parametreleri için bazı çift indeksli özdeğerler.

$n$	$N$	$\gamma_1^{\rho_{PI}}$	$\lambda_n(10^8, 0)(DC)$	(4.1) asimptotic formülü
0	300	500	9999999.24999823	9999999.24999998
2			49999996.249999150	49999996.24999972
4			89999989.249998450	89999989.24999870
6			129999978.249996796	129999978.24999635
8			169999963.249993264	169999963.24999204
10			209999944.249981880	209999944.24998516
12			249999921.249972999	249999921.24997514
14			289999894.249961853	289999894.24996138
16			329999863.249941706	329999863.24994326
18			369999828.249918341	369999828.24992019
20			409999789.249890208	409999789.24989158

Fakat burada çok büyük  $c$  değerleri için, Jacobi sanki-spektral yönteminden daha iyi bir yöntem verildiği açıktır. Çünkü, Çizelge 4.7.'den açıkça görüldüğü üzere  $c = 10^5$  iken bile matris boyutu  $N = 900$  olmaktadır. Bant genişliği parametresinin değeri arttıkça matris boyutunun dramatik bir şekilde arttığı düşünülürse, DC sanki-spektral yönteminin çok büyük  $c$  değerleri için çok iyi bir iyileştirme olduğu açıktır.

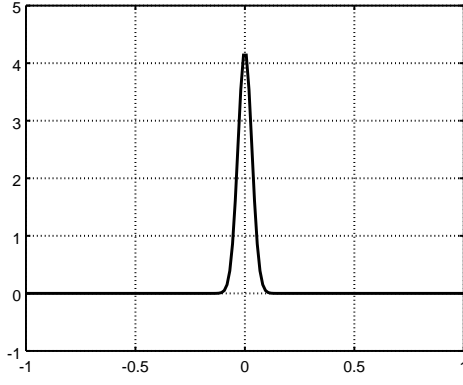
Çizelge 4.13. Çok büyük  $c$  değerleri için bazı özdeğerler.

$n$	$N$	$\gamma$	$c$	$\lambda_n(DC)$	(4.1) asimptotic formülü
0	500	30	$10^5$	99999.2499982	99999.2499981249
50				10098724.0887909	10098724.0887909140
100				20094947.9800125	20094947.9800124540
150				30088669.9843846	30088669.9843901656
0	600	60	$10^6$	999999.24999936	999999.2499998124
50				100998724.2338837	100998724.2338836789131
100				200994949.1230737	200994949.12307307124138
150				300988673.8237994	300988673.82380032539368
0	950	100	$10^7$	9999999.2497875	9999999.24999998137355
50				1009998724.2483787	1009998724.24838840961456
100				2009994949.2374091	2009994949.23730802536011
150				3009988674.2074265	3009988674.20738363265991

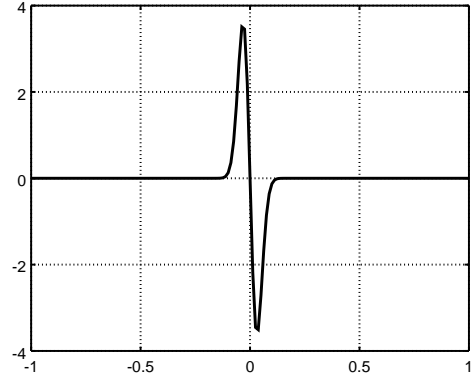
Son olarak, Çizelge 4.13. çok büyük  $c$  değerleri ( $c = 10^5, 10^6, 10^7$ ) için bazı büyük indeksli ( $n = 0, 50, 100, 150$ ) özdeğerleri listelemektedir. Çizelgeden de görüldüğü üzere burada kullanılan yöntem hem düşük indisli hem de büyük indisli özdeğerleri yüksek doğrulukta hesaplayabilmektedir.

Bu çalışmada verilen yöntem ile keyfi bir  $m = 0, 1, 2, \dots$  değeri için de benzer sonuçlar elde edilmiştir. Şekil 4.1.  $c = 1000, m = 10$  için (3.56) denkleminin ilk dört

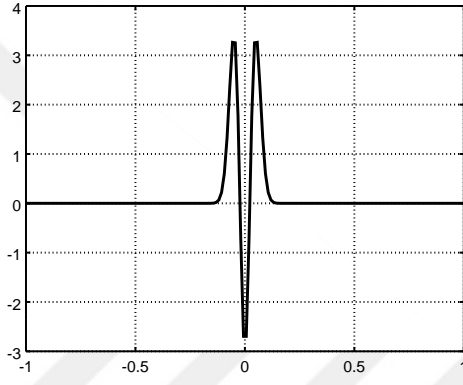
özfonksiyonunu içermektedir.



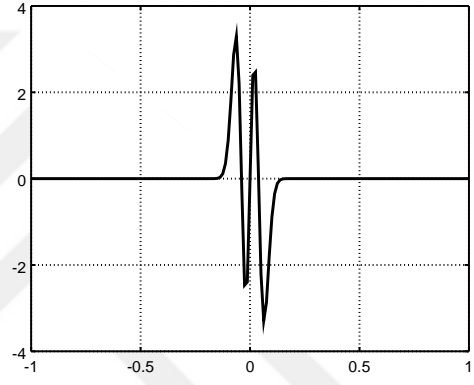
(a)  $y_0(x)$ ,  $\lambda_0 = 1099.299\ 886\ 167\ 0$



(b)  $y_1(x)$ ,  $\lambda_1 = 3098.399\ 433\ 242\ 3$



(c)  $y_2(x)$ ,  $\lambda_2 = 5096.498\ 154\ 090\ 5$



(d)  $y_3(x)$ ,  $\lambda_3 = 7093.595\ 296\ 337\ 4$

Şekil 4.1. (3.56) küresel dalga denkleminin  $c = 10^3$ ,  $m = 10$  için ilk dört özfonksiyonu.

## 5. SONUÇLAR ve ÖNERİLER

Bu çalışmada, küresel dalga denkleminin özdeğerleri ve özfonksiyonları bant genişliği parametresinin hem küçük hem de çok büyük değerleri için sırasıyla Jacobi tipi ve dönüştürülmüş Chebyshev sanki-spektral yöntemleriyle hesaplanmıştır. Jacobi sanki-spektral yönteminin özellikle küçük bant genişliği değerleri ( $c < 10^3$ ) için uygun olduğu fakat daha büyük değerler için kullanışsız olduğu görülmüştür. Bu yüzden, parametrenin büyük değerleri için daha uygun bir yöntem olan dönüştürülmüş Chebyshev sanki-spektral yöntemi kullanılmıştır. Büyük  $c$  değerleri için özfonksiyonlar sıfırın küçük bir komşuluğuna sıkıştığı için Chebyshev ekstremum noktaları uygun bir dönüşümle bu bölgeye gönderilmiş ardından yöntem uygulanmıştır. Bunun sonucunda da özdeğer ve özfonksiyonlar  $c < 10^7$  parametre değerleri için etkili ve ucuz bir şekilde yüksek doğrulukta elde edilmiştir.

Ancak daha büyük  $c$  değerleri için Chebyshev sanki-spektral yöntemi de kullanışsız bir hal almaktadır. Bu durumda, özdeğer ve özfonksiyonların hesabında asimptotik formüller kullanılabilir. Ayrıca, spektral yöntemlerde baz fonksiyonu olarak Hermite veya Laguerre fonksiyonlarının kullanılması da çok büyük  $c$  değerleri için yüksek doğrulukta sonuçlar vermektedir (Huang ve ark., 2015; Alıcı ve Shen, 2017).

## KAYNAKLAR

- ABRAMOWITZ, M. and STEGUN, I. A., 1970. Handbook of Mathematical Functions with Formulas, Graphs, and Mathematical Tables. Dover, New York, 1970.
- ALICI, H. and SHEN, J., 2017. Highly Accurate Pseudospectral Approximations of the Prolate Spheroidal Wave Equation for Any Bandwidth Parameter and Zonal Wavenumber. *J. Sci. Comput.*, 71(2):804–821.
- BARAKAT, K. M. A., ABODAYEH, T. 2005. The asymptotic iteration method for the angular spheroidal eigenvalue. *J. Phys. A Math. Gen.*, 38:1299–1304.
- BAYLISS, A., GOTTLIEB, D., MATKOWSY, B. J., and MINKOFF, M., 1989. An adaptive pseudospectral method for reaction diffusion problems. *J. Comput. Phys.*, 81:421–443.
- BOYD, J. P., 2004. Prolate spheroidal wavefunctions as an alternative to Chebyshev and Legendre polynomials for spectral and pseudospectral algorithms. *J. Comput. Phys.*, 199: 688-716s.
- BOYD, J. P., 2005. Computation of grid points, quadrature weights and derivatives for spectral element methods using prolate spheroidal wavefunctions prolate elements. *ACM. Trans. Math. Softw.*, 31:149-165s.
- CANUTO, C., HUSSAINI, M. Y., QUARTERONI, A., and ZANG, T. A., 2006. Spectral Methods Fundamentals in Single Domains. Springer, Berlin Heidelberg.
- CLENSHAW, C. W., 1957. The numerical solution of linear differential equations in Chebyshev series. *Proc. Camb. Phil. Soc.*, 53:134–149.
- FRAZER, R. A., JONES, W. P. and SKAN, S. W., 1937. Approximations to functions and to the solution of differential equations. *Rep. and Mem.*, 1799.
- FUNARO, D., 1992. Polynomial Approximation of Differential Equations. Lecture Notes in Physics. Springer-Verlag, Berlin Heidelberg.
- GOLUB, G. H. and WELSCH, J. H., 1969. Calculation of Gauss quadrature rules, *Math. Comput.*, 23:221–230+s1–s10.
- HUANG, Z., XIAO, J., BOYD, J. P. 2015. Adaptive radial basis function and hermite function pseudospectral methods for computing eigenvalues of the prolate spheroidal wave equation for very large bandwidth parameter. *J. Comput. Phys.*, 281:269–284.
- KOSLOOF, D. and TAL-EZER, H., 1993. A modified Chebyshev pseudospectral method with an  $o(n^{-1})$  time step restriction. *J. Comput. Phys.*, 104:457–469.
- LANCZOS, C., 1938. Trigonometric interpolation of empirical and analytical functions. *J. Math. Phys.*, 17:123–199.
- NIKIFOROV, A. F. and UVAROV, V. B., 1988. Special Functions of Mathematical Physics. Birkhäuser, Basel.
- OGBURN, D., WATERS, C, SCIFFER, M. HOGAN J., ABBOTT, P. ,2014. A finite difference construction of the spheroidal wave function, *J. Comput. Phys. Comm.*, 185:244–253.
- SCHMUTZHARD, S., HRYCAK, T. and FEICHTINGER, H., 2015. A numerical study of the Legendre-Galerkin method for the evaluation of the prolate spheroidal wavefunction. *Numer. Algorithms.*, 68:691–710.
- TREFETHEN, L. N., 2000. Spectral Methods in Matlab. SIAM, Philadelphia.
- VILLADSEN, J. V. and STEWART, W. E., 1967. Solution of boundary value problems

by orthogonal collocation. Chem. Eng. Sci., 22:1483–1501.  
XIAO, H., ROKHLIN, V. ve YARVIN, N., Prolate spheroidal wavefunctions, quadrature  
and interpolation. Inverse Probl., 17:805–828.



## ÖZGEÇMİŞ

### KİŞİSEL BİLGİLER

**Adı Soyadı** : Hülya AYTAR  
**Uyruğu** : T.C.  
**Doğum Yeri ve Tarihi** : Şanlıurfa , 21.02.1993  
**Telefon** : 0544 309 55 26  
**e-mail** : aytarhulya93@gmail.com

### EĞİTİM

<b>Derece</b>	<b>Adı</b>	<b>Bitirme Yılı</b>
Lise	: Yüzbaşı Ali Saip URSAVAŞ Lisesi, Şanlıurfa	2010
Üniversite	: Harran Üniv., Matematik Böl., Şanlıurfa	2014
Yüksek Lisans	: Harran Üniv., Matematik Böl., Şanlıurfa	

### İŞ DENEYİMLERİ

<b>Yıl</b>	<b>Kurum</b>	<b>Görevi</b>
2015 –	Özel Erkan Şanlıurfa Teknik Meslek Lİsesi	Matematik Öğretmeni

### YABANCI DİLLER

ingilizce